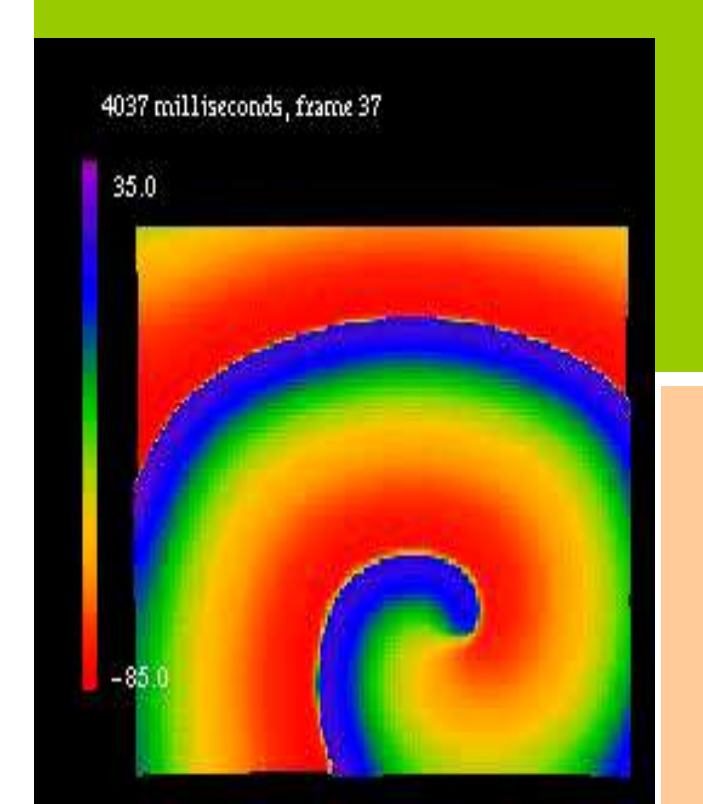
## РАСПРОСТРАНЕНИЕ ФРОНТОВ, ИМПУЛЬСОВ И ВОЛН



## АВТОВОЛНОВЫЕ ПРОЦЕССЫ И СЕРДЕЧНЫЕ АРИТМИИ

Пространственновременное поведение в моделях популяционной динамики

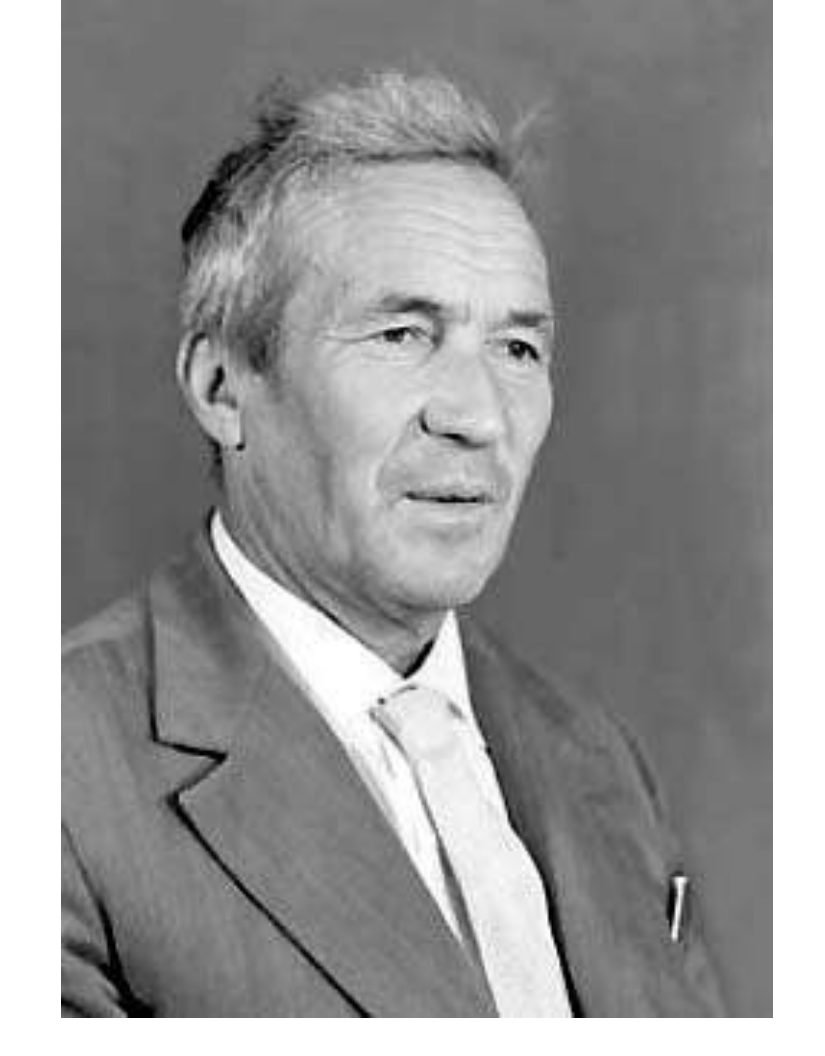


#### Классические работы



А.Н. Колмогоров, И.Г. Петровский, Н.С. Пискунов "Исследование уравнения диффузии, соединенной с возрастанием вещества, и его применение к одной биологической проблеме". Бюллетень МГУ, Серия А, Математика и механика, 1937, т.1;

R.A.Fisher. The wave of advance of advantageous genes. Ann Eugenics. 1937, v 191, pp 295-298



#### Андрей Николаевич Колмогоров

Человечество всегда мне представлялось в виде множества блуждающих в тумане огоньков, которые лишь смутно чувствуют сияние, рассеиваемое всеми другими, но связаны сетью ясных огненных нитей, каждый в одном, двух, трех... направлениях. И возникновение таких прорывов через туман к другому огоньку вполне разумно называть "ЧУДОМ".

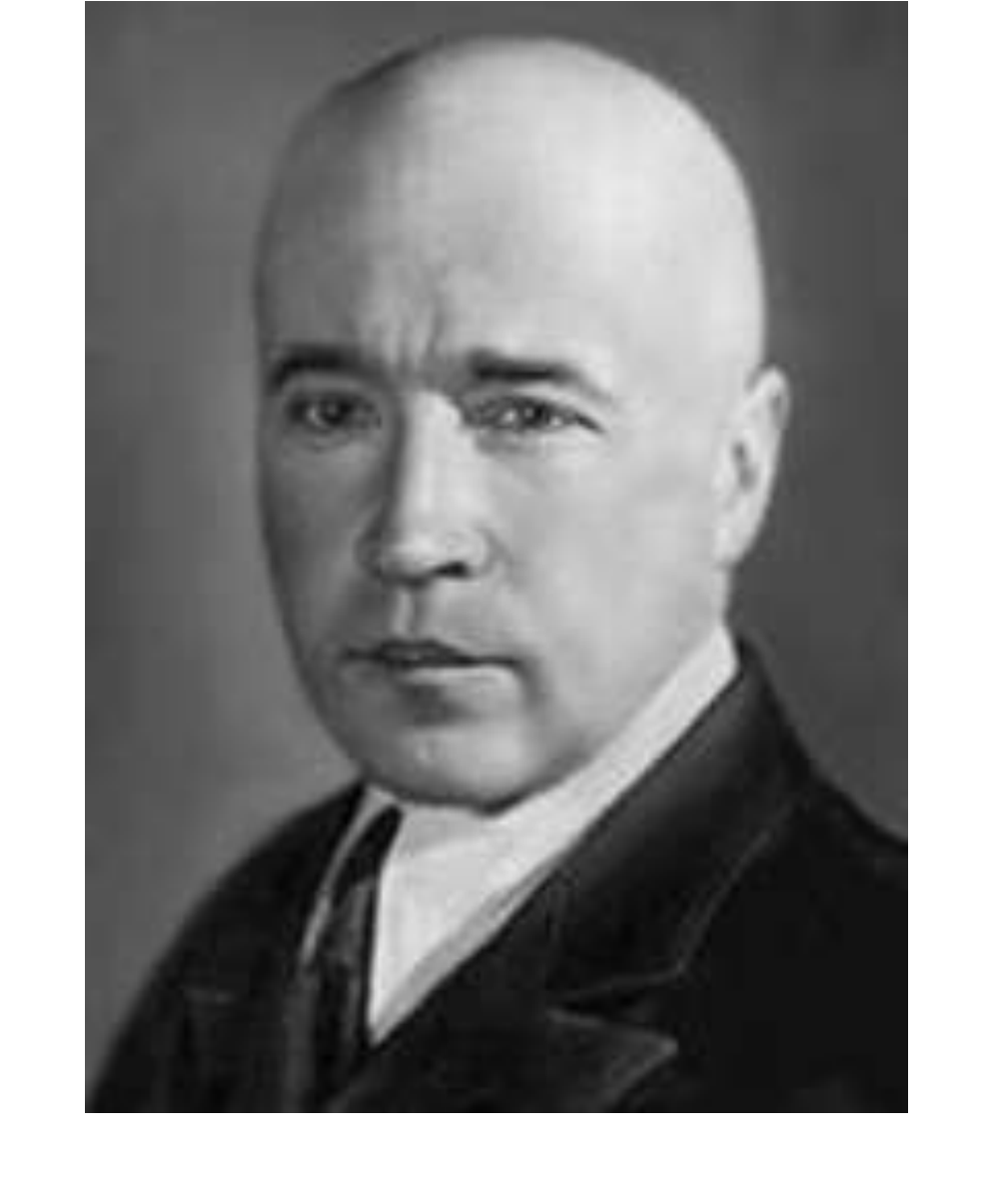
1903-1987

Андрей Николаевич Колмогоров занимает уникальное место в современной математике, и в мировой науке в целом. По широте и разнообразию своих научных занятий он напоминает классиков естествознания прошлых веков

Ива́н Гео́ргиевич Петро́вский

1901-1973

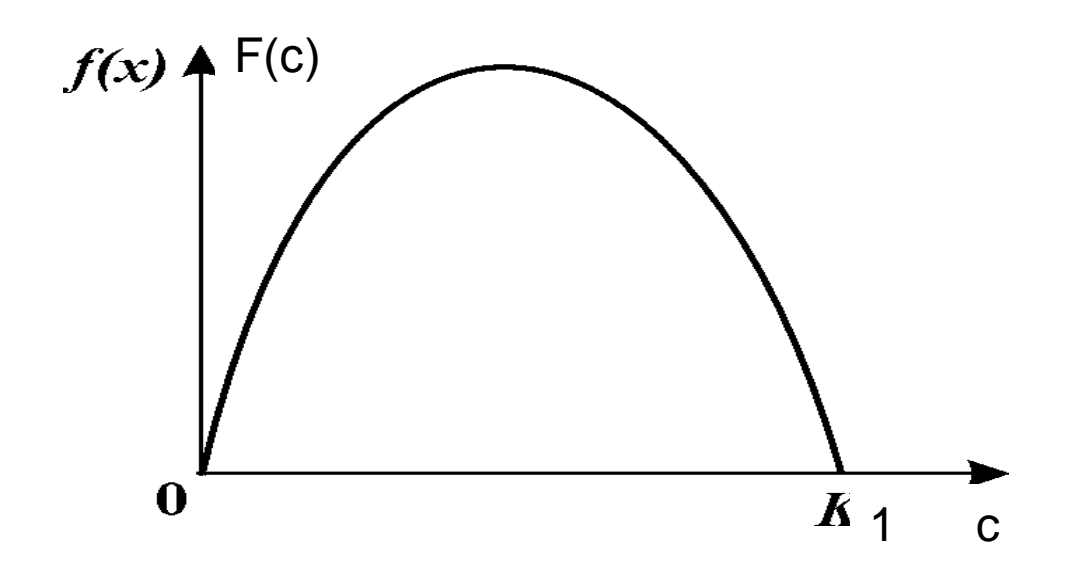




Выдающийся советский математик и деятель отечественного образования. С 1951 по 1973 гг. — ректор Московского государственного университета им. М.В.Ломоносова

#### Модель распространения волны – Колмогорова-Петровского- Пискунова-Фишера

Функция правой части

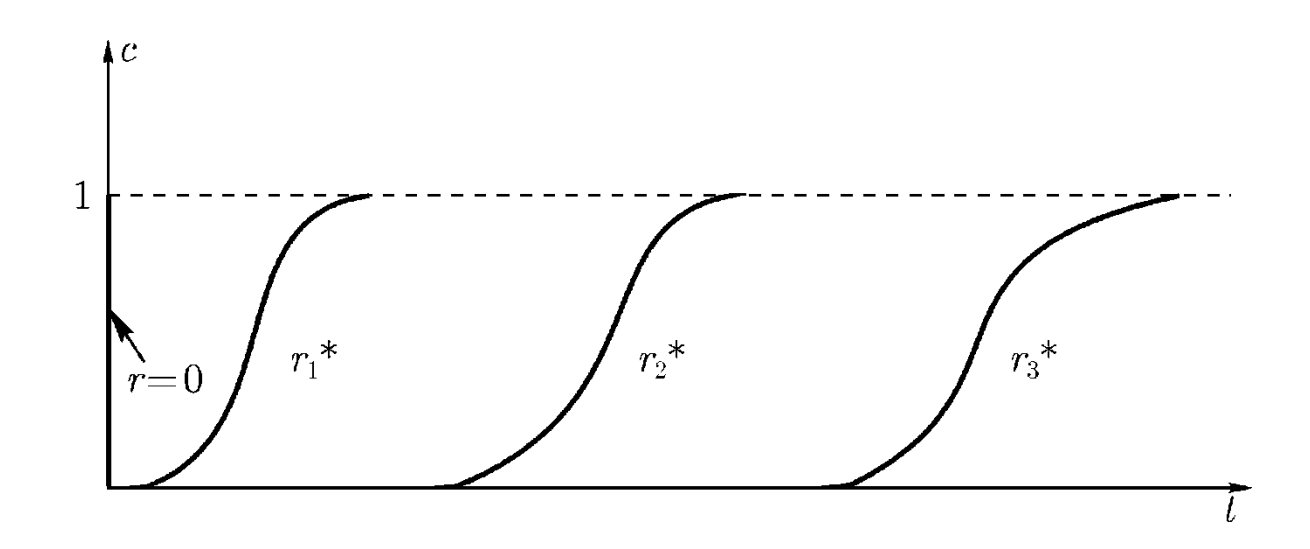


$$\frac{\partial c}{\partial t} = D \frac{\partial^2 C}{\partial r^2} + f(C)$$

Модель распространения доминирующего вида

## Вид функции C(t) в зависимости от времени в фиксированных точках пространства $r^*$ .

$$\frac{\partial c}{\partial t} = D \frac{\partial^2 C}{\partial r^2} + f(C)$$



Продолжительность лаг-периода функции C(t) зависит от координаты  $t^*$ . Как только благодаря диффузии малые, но конечные концентрации достигли точки  $t^*$ , здесь начинается бурный рост C до значений, близких к единице, в соответствии с функцией f(C).

#### Профиль распространяющейся волны в разные моменты времени

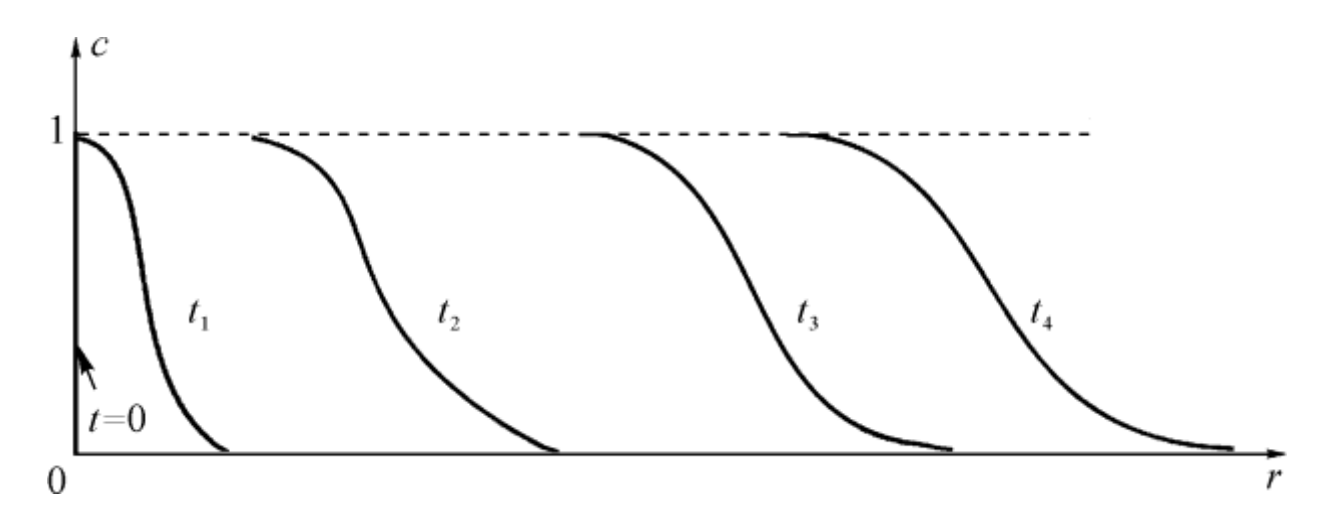
Уравнение может иметь решение в виде волны

$$\frac{\partial c}{\partial t} = D \frac{\partial^2 C}{\partial r^2} + f(C)$$

Предельная скорость распространения фронта волны

$$\lambda_0 = 2\sqrt{D \cdot f'(0)}$$

Концентрации на фронте волны могут распространяться быстрее, чем в ходе диффузии



### Автоволновое решение $\frac{\partial c}{\partial t} = D \frac{\partial^2 C}{\partial r^2} + f(C)$

• Предельная форма кривой плотности дается решением уравнения:

$$D\frac{d^2V}{dz^2} + \lambda_0 \frac{dV}{dz} + f(V) = 0,$$

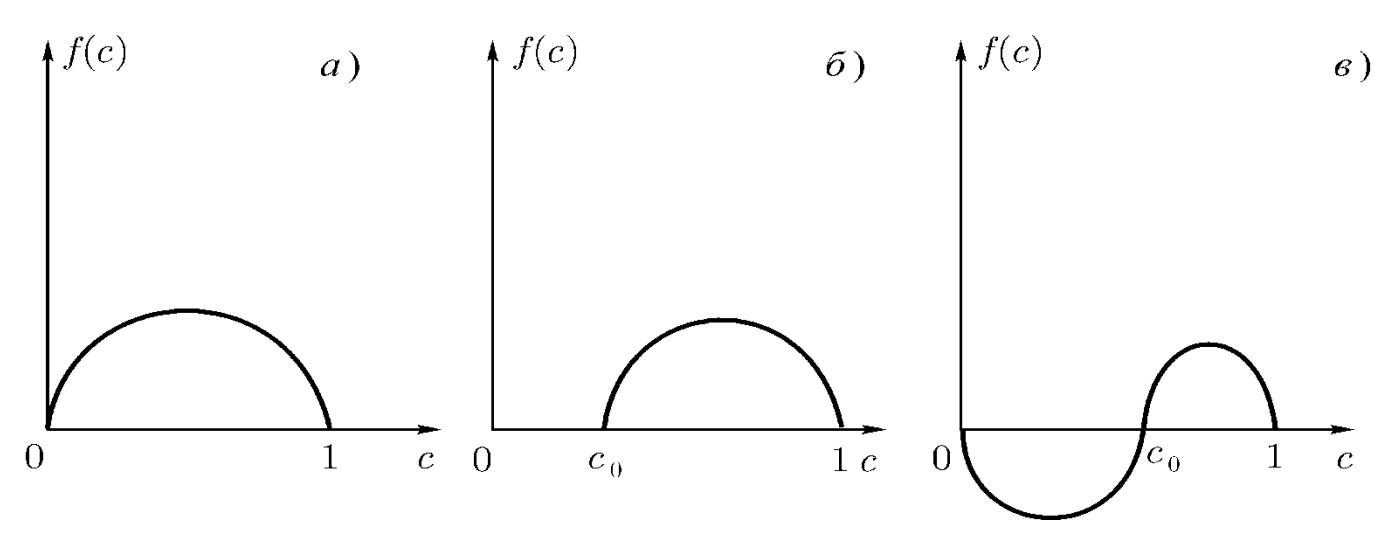
- обращающимся в нуль при  $Z = + \infty$  и в единицу при  $Z = \infty$ .
- Такое решение V(Z) всегда существует и единственно, с точностью до преобразования, не меняющего форму кривой.
- Уравнение может быть получено, если искать решение уравнения распространения волны в форме:
- $C(t,r) \approx V(r-\lambda t)$  автоволновая переменная

#### Модель распространения волны – Колмогорова-Петровского- Пискунова-Фишера

Функции правой части

$$\frac{\partial c}{\partial t} = D \frac{\partial^2 C}{\partial r^2} + f(C)$$

Модель распространения доминирующего вида



М.Фрейдлин, 1979

#### Волна погони и бегства

$$\frac{\partial x_1}{\partial t} = c_1 x_1 - a_{12} x_1 x_2 + D_1 \frac{\partial^2 x_1}{\partial r^2},$$

$$\frac{\partial x_2}{\partial t} = a_{21}x_{21}x_2 - c_2x_2 + D_2 \frac{\partial^2 x_2}{\partial r^2}.$$

Новые переменные

$$\varphi_1 = \frac{-c_2 x_1}{a_{21}}, \quad \varphi_1 = \frac{c_1 x_2}{a_{12}},$$

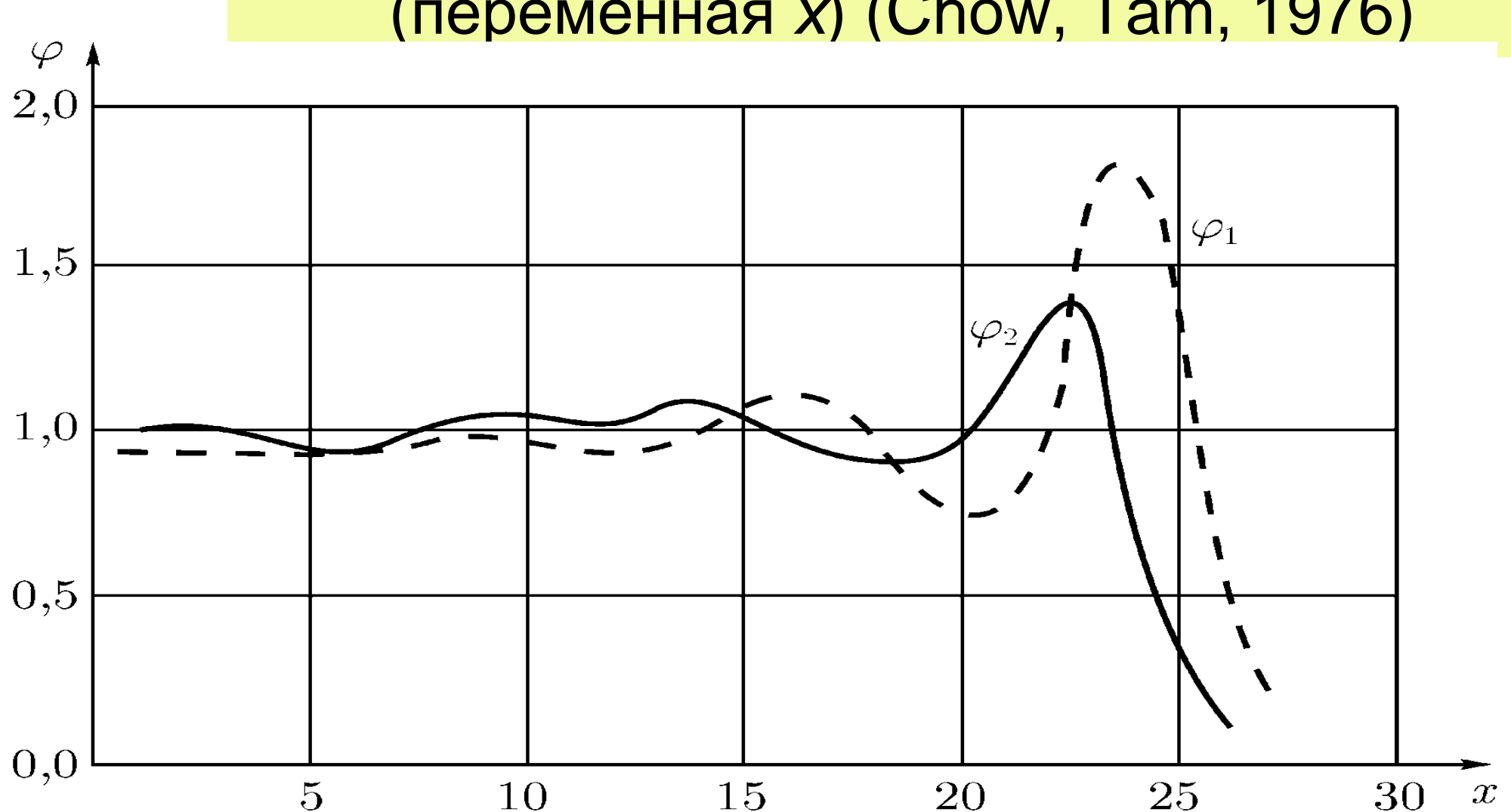
 $D_1$ =0 малая подвижность жертв

$$\frac{\partial \varphi_1}{\partial t} = c_1 \varphi_1 (1 - \varphi_2),$$

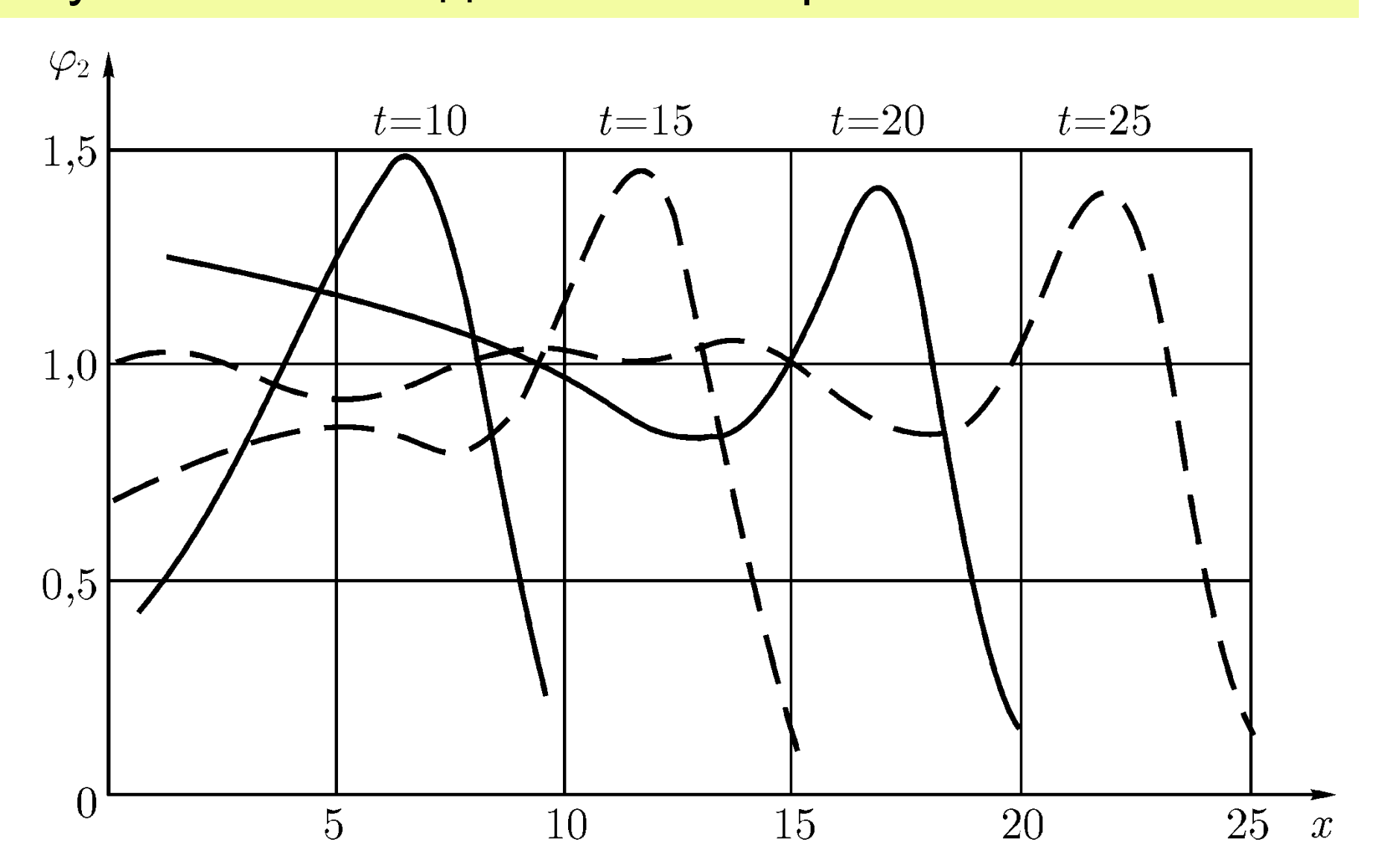
$$\frac{\partial \varphi_2}{\partial t} = D_2 \frac{\partial^2 \varphi_2}{\partial r^2} + c_2 \varphi_2 (\varphi_1 - 1).$$

Chow P.L. and Tam W.C. Periodic and traveling wave solutions to Volterra-Lotka equations with diffusion. *Bull. Math. Biology* **38**(6):643-658, 1976

Распределение плотности популяции хищников и жертв в пространстве (переменная *x*) (Chow, Tam, 1976)



Распределение плотности популяции хищников в пространстве (*x*) в различные моменты времени в случае малой подвижности жертв — волна погони



#### Биологическая система



*Ambrosia artemisiifolia* L.

XIX век – Европа

в 1910<sup>x</sup> – Юг России

в 1940<sup>x</sup> – взрыв инвазии

с 1980<sup>x</sup> – нынешний период



*Zygogramma suturalis* F.

1978 – Ставропольский край

1984 – Северный Кавказ

1989 – Палеарктика



Д.б.н. О.В. Ковалев (ЗИН РАН, С-Петербург) Автор биометода подавления амброзии полыннолистной

#### Амброзия - амброзиевый листоед



Растение до 180-200 см в длину Распространяется только семенами (даже восковой спелости)



• Амброзия полынолистная (*Ambrosia artemisiifolia*) была завезена в Россию в сороковые годы 20 века во время Великой Отечественной Войны вместе с американскими продовольственными поставками зерна. «Чужой» для России вид быстро распространился по огромным территориям Европейской части СССР, в Закавказье, Казахстане, Приморском крае. Амброзия заглушает посевы культурных растений, не имеет в Европе и Азии естественных вредителей, не поедается большинством теплокровных животных, пыльца амброзии вызывает массовую аллергию у людей в летнее время.

#### Засоренность агроценозов в конце 1970-х



## Распространение амброзиевого листоеда

Полосатый жук – амброзиевый листоед
 (*Zygogramma suturalis*), является
 естественным вредителем амброзии в
 Америке.

Первый выпуск в 1978 г. в Ставропольском крае.

В 1983 г. – до 5 тыс. особей на 1 кв.м

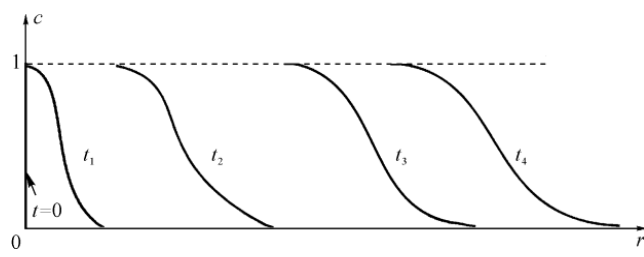


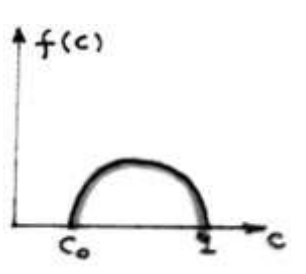
## Популяционная волна

Начиная с третьего поколения жука границы разрастающейся популяции можно было определить по зонам высокой плотности листоеда. Эти зоны представляли собой неправильной формы круги, причем положение зон высокой плотности в течение сезона оставалось фиксированным и изменялось лишь в следующем сезоне



Начиная с седьмого поколения была зарегистрирована уединенная популяционная волна, движущаяся с постоянной скоростью без изменения формы. В узкой полосе регистрировалась чрезвычайно высокая плотность насекомых — до 5 тыс. на 1 кв. м. В тылу волны амброзия оказывается полностью уничтоженной, движение напоминало распространение степного пожара. Скорость движения волны составляла 3 м/сут. Формирование волны происходило на всей территории ареала вредителя по мере достижения критической численности в местах колонизации.





## Модель распространения амброзиевого листоеда

$$\frac{\partial n}{\partial t} = D\Delta n + \nabla (B\nabla p) + f(n)$$

$$\Delta = \frac{\partial^2}{\partial x^2} + \frac{\partial^2}{\partial y^2}$$

$$\frac{\partial p}{\partial t} = -An,$$
Направленное движение 
$$f(n) = \frac{E_n}{n_0}(n^2 - En).$$

$$\nabla = \frac{\partial}{\partial x} + \frac{\partial}{\partial y}$$

Отличие от химических систем

n - численность жуков

f(n) — изменение численности жуков за счет рождения и смертности.

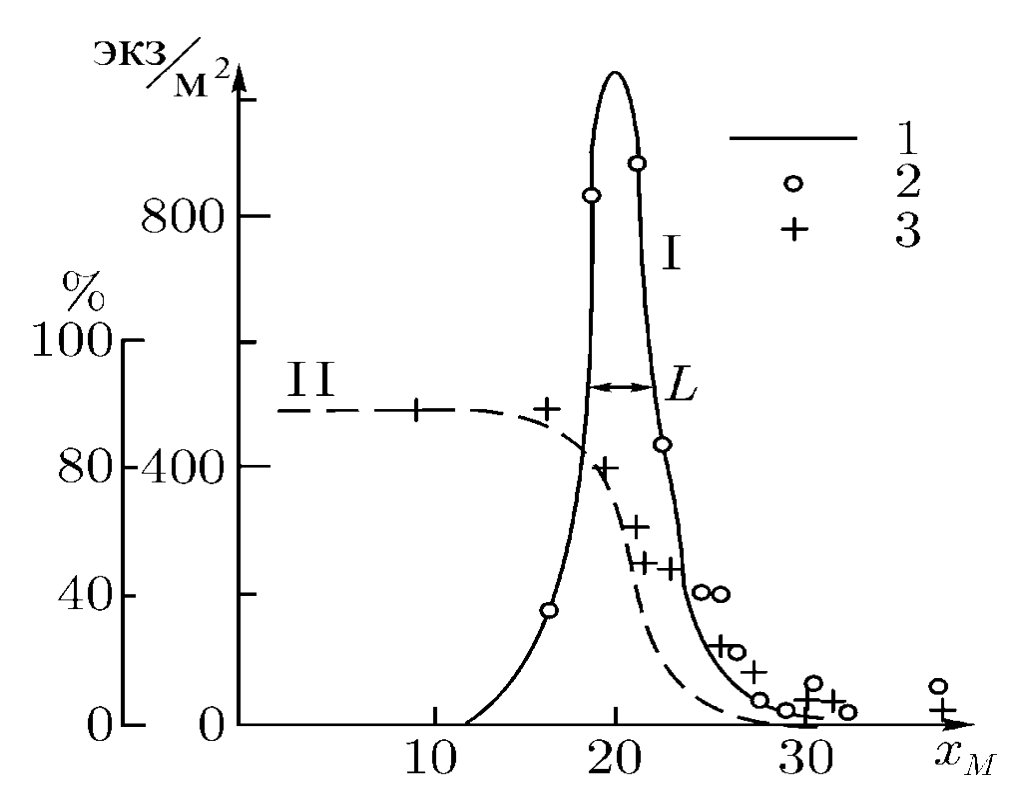
B – коэффициент эффективности поиска пищи,  $p(\mathbf{r}, t)$  – плотность амброзии.

А – количество корма, поедаемое одной особью в сутки

Ковалев О.В. и Вечерин В.В. Описание нового волнового процесса в популяциях на примере интродукции и расселения амброзиевого листоеда *Zygogramma suturalis* F. (Coleoptera, Chrysomelidae). *Энтомол. обозрение* **65**(1): 21-38, 1986

Алексеев В.В., Крышев И.И., Сазыкина Т.Г. Физическое и математическое моделирование экосистем. 1992

# Популяционная волна амброзиевого листоеда



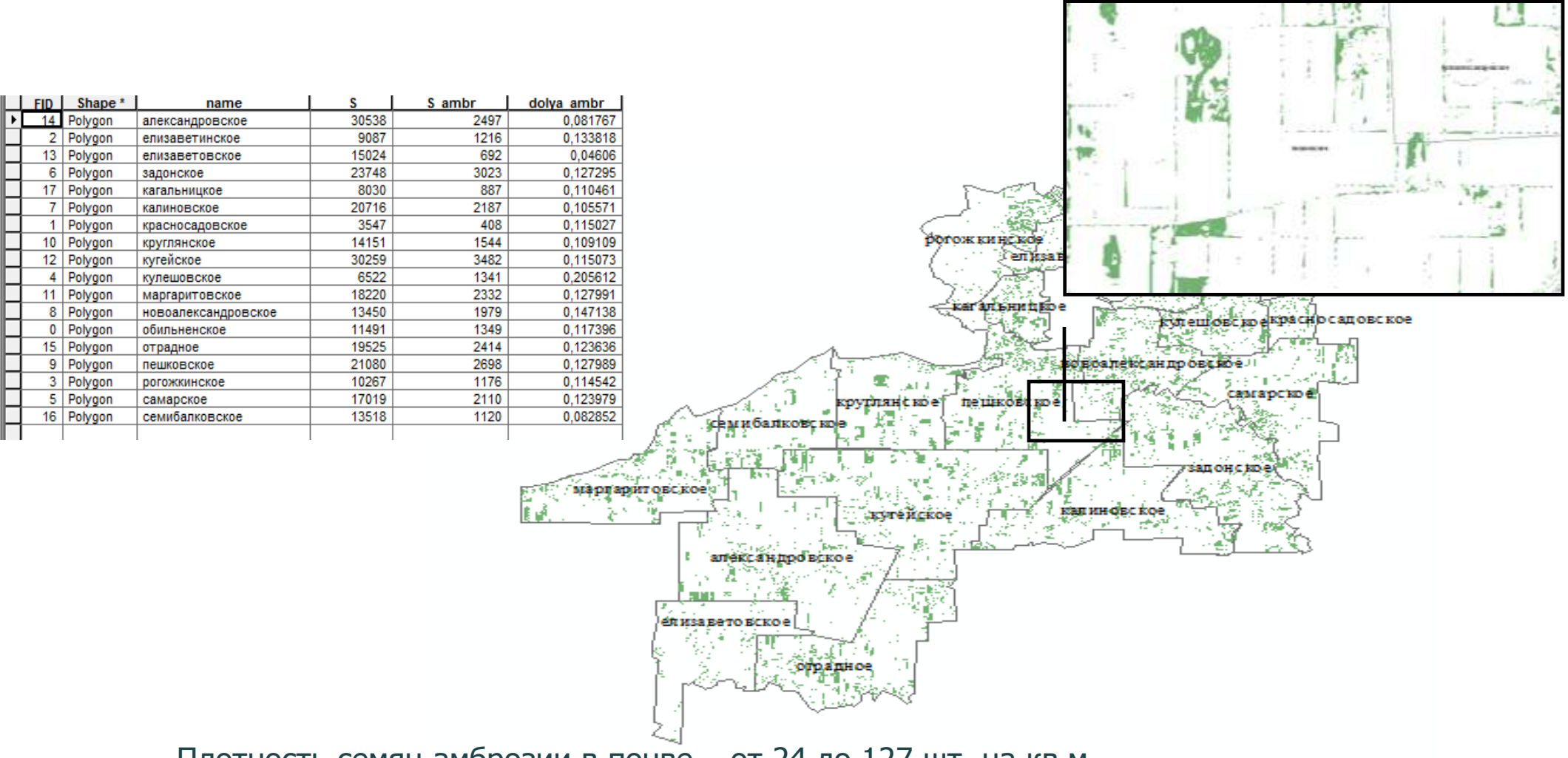


Волна амброзиевого листоеда, кривая I, и волна пораженности амброзии (%), кривая II. 1 – расчет по модели, 2,3 – данные экспериментальных наблюдений

Алексеев В.В., Крышев И.И., Сазыкина Т.Г. Физическое и математическое моделирование экосистем, 1992

#### Распространение амброзии в 2010-х ст.

Оценка засоренности фитоценозов Азовского района Ростовской области



Плотность семян амброзии в почве – от 24 до 127 шт. на кв.м.

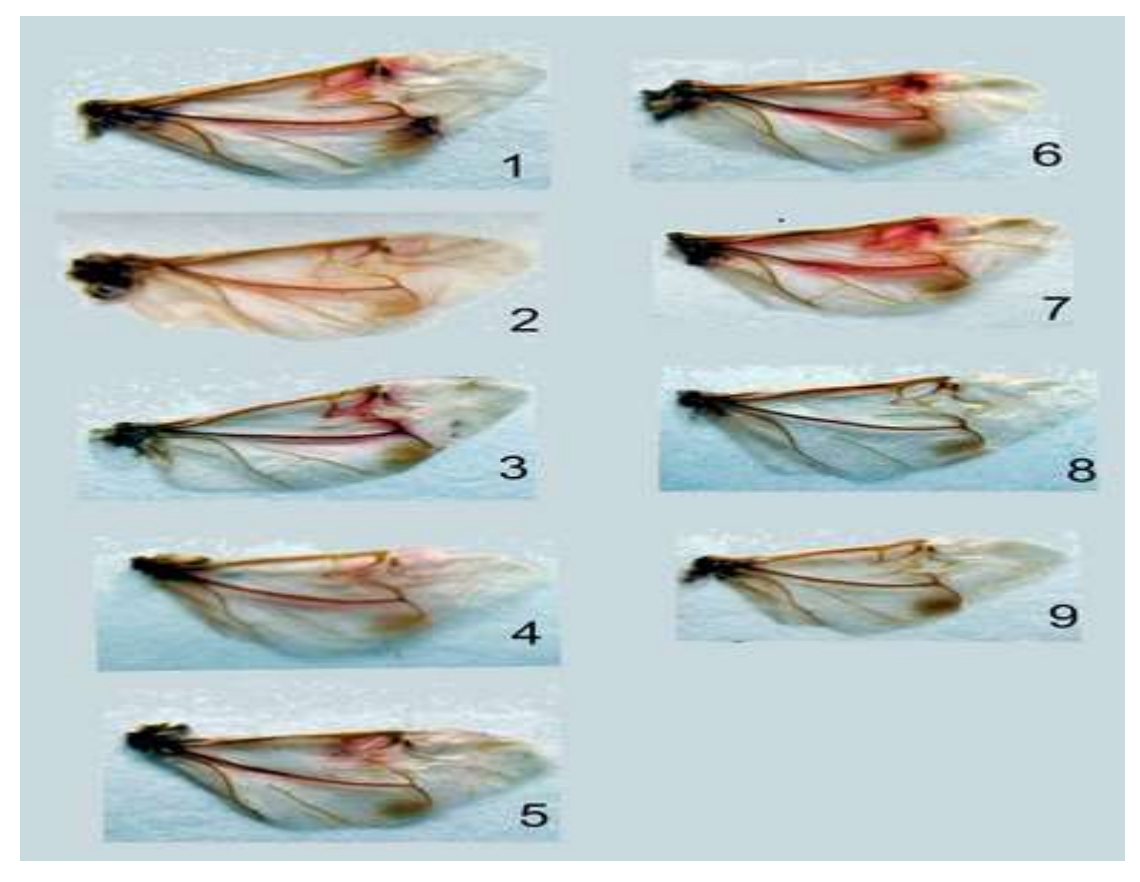
(Ковалев и др. 2013, 2014; Ковалев, Тютюнов 2014; Архипова и др. 2014)

#### Полет листоеда

• Быстрое (в течение 5-6 поколений) развитие способности к полёту



Летающий подвид *Zygogramma suturalis volatus* Kovalev (Ковалев 1989; Kovalev 2004)



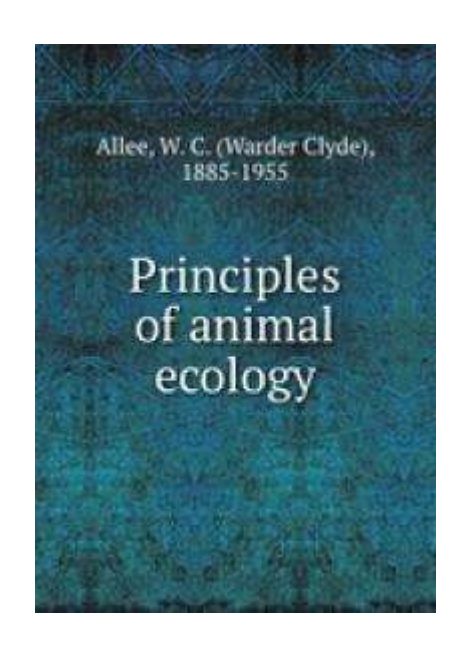
Изменения аксиллярного аппарата, включающие развитие мышц и аксиллярных склеритов (Ковалев 1989; Бродский 1989; Kovalev 2004; Арзанов 2012)

#### Требования к модели

- Явное описание пространственной динамики
- Рассмотрение как случайных (диффузионных), так и направленных потоков популяционной плотности, стимулируемых неоднородностью пищевого ресурса
- Учет пространственной неоднородности путем выделения непригодных для развития растений участков
- Возможность отслеживания изменений генетической структуры популяции фитофага
- Учет эффекта Олли (Allee 1931; Stephens, Sutherland 1999) в популяции фитофага
- Универсальность, применимость к подобным системам

Объединение модели пространственного поведения хищника (Говорухин и др. 2000; Arditi et al. 2001; Тютюнов и др. 2002, 2009; Sapoukhina et al. 2003) с демо-генетическими уравнениями В.А. Костицына (Kostitzin 1936, 1937, 1938, 1938a)

## Эффект Олли (Allee effect)



Уолтер Клайд Олли – американский биолог и эколог

Warder Allee [1885-1955],



- Закономерность, согласно которой, объединение биологических особей в группы (агрегация), с одной стороны, усиливает конкуренцию между группами за пищевые ресурсы и жизненное пространство, но с другой стороны увеличивает способность выживания группы особей в целом.
- При этом как перенаселённость, так недонаселённость препятствующая агрегации, могут служить лимитирующими факторами развития.
- В англоязычных источниках эту закономерность обычно называют «Allee effect» по имени американского зоолога, Warder Allee [1885-1955], описавшего ее в 1931 году.

#### Пространственная демо-генетическая моде

$$\frac{\partial R}{\partial t} = R(r_R(\mathbf{x}) - c_R R - c_{RP} P) - (N_{ff} + N_{fp} + N_{pp}) \cdot \frac{aR}{1 + ahR} + \delta_R \Delta R$$

$$\frac{\partial P}{\partial t} = P(r_P(\mathbf{x}) - c_P R - c_{PR} R) + \delta_P \Delta P$$

$$\frac{\partial N_{ff}}{\partial t} = \frac{aR}{1 + ahR} \cdot \frac{1}{N + A} \cdot f_{ff} \left( N_{ff}, N_{fw}, N_{ww} \right) - \mu_{ff} N_{ff} - div \left( N_{ff} \nabla S_{ff} \right) + \delta_{ff} \Delta N_{ff}$$

$$\frac{\partial N_{fw}}{\partial t} = \frac{aR}{1 + ahR} \cdot \frac{1}{N + A} \cdot f_{fw} \left( N_{ff}, N_{fw}, N_{ww} \right) - \mu_{fw} N_{fw} - div \left( N_{fw} \nabla S_{fw} \right) + \delta_{fw} \Delta N_{fw}$$

$$\frac{\partial N_{ww}}{\partial t} = \frac{aR}{1 + ahR} \cdot \frac{1}{N + A} \cdot f_{ww} \left( N_{ff}, N_{fw}, N_{ww} \right) - \mu_{ww} N_{ww} - div \left( N_{ww} \nabla S_{ww} \right) + \delta_{ww} \Delta N_{ww}$$

$$\frac{\partial S_{ff}}{\partial t} = \kappa_{ff} R - \eta_{ff} S_{ff} + \delta_{Sff} \Delta S_{ff}$$

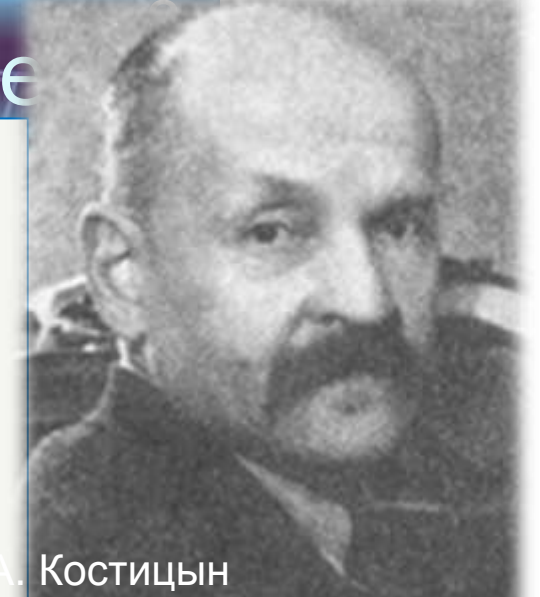
$$\frac{\partial S_{fw}}{\partial t} = \kappa_{fw} R - \eta_{fw} S_{fw} + \delta_{Sfw} \Delta S_{fw}$$

$$\frac{\partial S_{ww}}{\partial t} = \kappa_{ww} R - \eta_{ww} S_{ww} + \delta_{Sww} \Delta S_{ww}$$

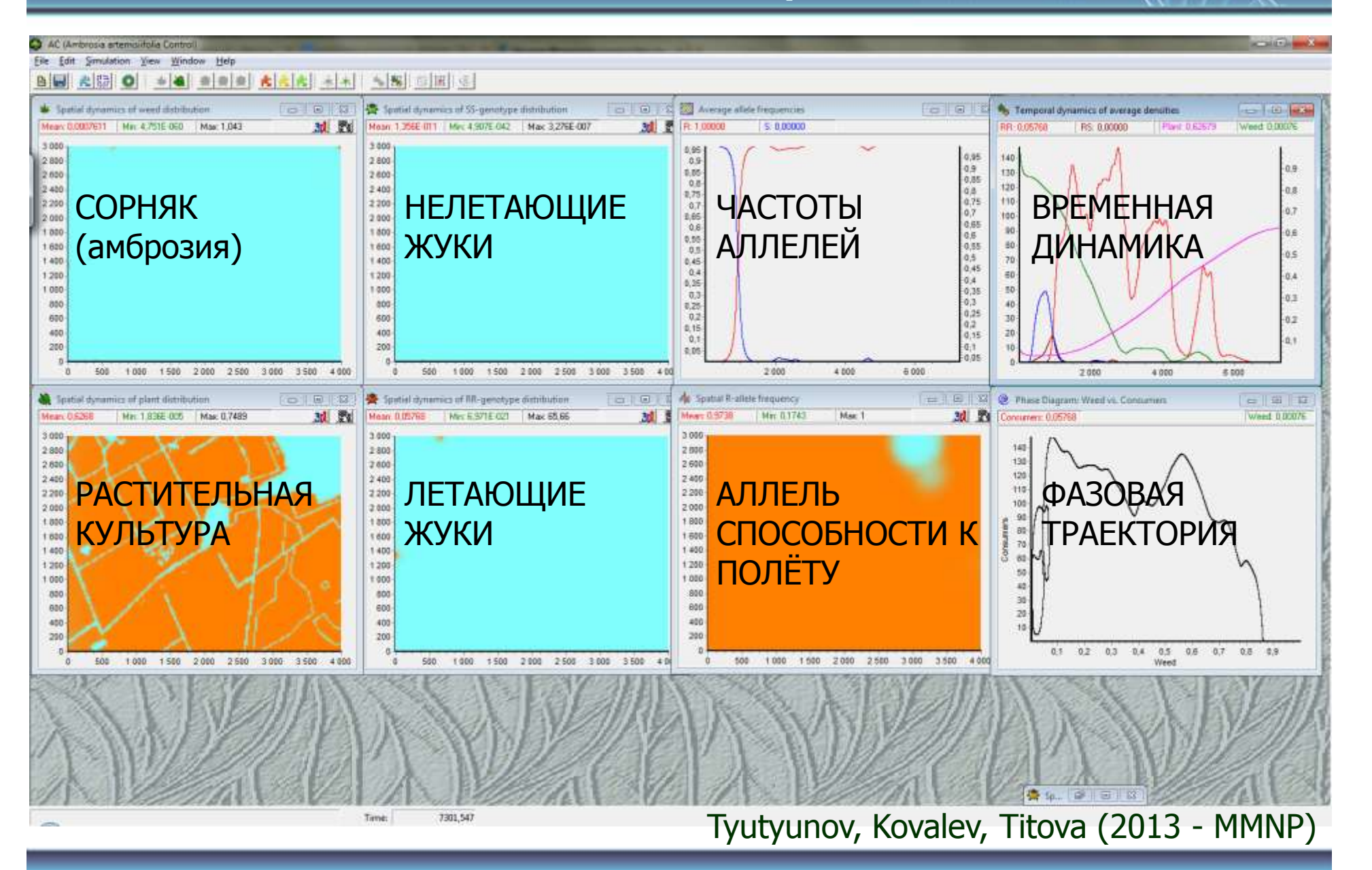
$$\frac{\partial S_{ff}}{\partial t} = \kappa_{ff} R - \eta_{ff} S_{ff} + \delta_{Sff} \Delta S_{ff} 
\frac{\partial S_{ff}}{\partial t} = \kappa_{ff} R - \eta_{ff} S_{ff} + \delta_{Sff} \Delta S_{ff} 
\frac{\partial S_{ff}}{\partial t} = \kappa_{ff} R - \eta_{ff} S_{ff} + \delta_{Sff} \Delta S_{ff} 
\frac{\partial S_{ff}}{\partial t} = \kappa_{ff} R - \eta_{ff} S_{ff} + \delta_{Sff} \Delta S_{ff} 
\frac{\delta_{fw}(N_{ff}, N_{fw}, N_{ww}) = e_{ff} N_{ff} N_{fw} + e_{fwfw} N_{fw}^2 / 2 + 2e_{ffww} N_{fw} N_{ww} + e_{fwww} N_{fw} N_{ww}}{f_{ww}(N_{ff}, N_{fw}, N_{ww}) = e_{wwww} N_{fw}^2 + e_{wwfw} N_{fw} N_{ww} + e_{fwfw} N_{fw}^2 / 4}$$

аллель способности к полёту -fаллель неспособность к полёту – w

$$N = N_{ff} + N_{fw} + N_{ww}$$



#### Вычислительный эксперимент





#### Ма́лхов Хорст (Malchow Horst) – немецкий ученый, профессор, университета Оснабрюкке. Декан факультета

Подвижности видов (коэффициенты диффузии) одинаковы (не Тьюринг)

сложных систем

$$\frac{\partial u}{\partial t} = \frac{\partial^2 u}{\partial x^2} + u(1 - u) - \frac{u}{u + H}v,$$

$$\frac{\partial v}{\partial t} = \frac{\partial^2 v}{\partial x^2} + k\frac{u}{u + H}v - mv,$$

Зададим малые возмущения

## Колебания и пространственный хаос



Malchow H., Petrovskii S.V., Venturino E. Spatiotemporal patterns in ecology and epidemiology: Theory, models, simulations. Boca Raton, Chapman & Hall/CRC Press, 2008

## Малые возмущения динамической системы в пространстве дают динамический хаос

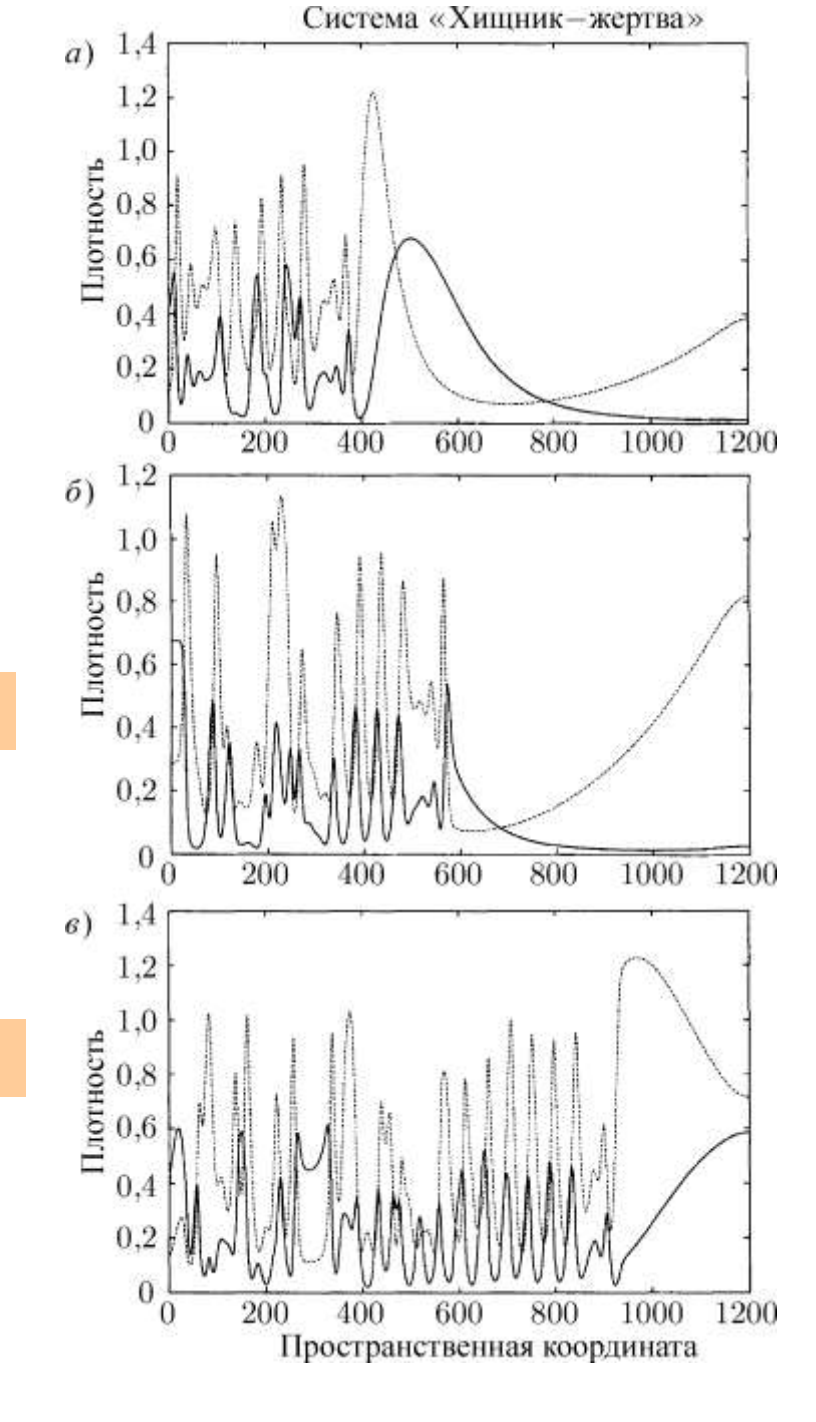
a - t = 500,

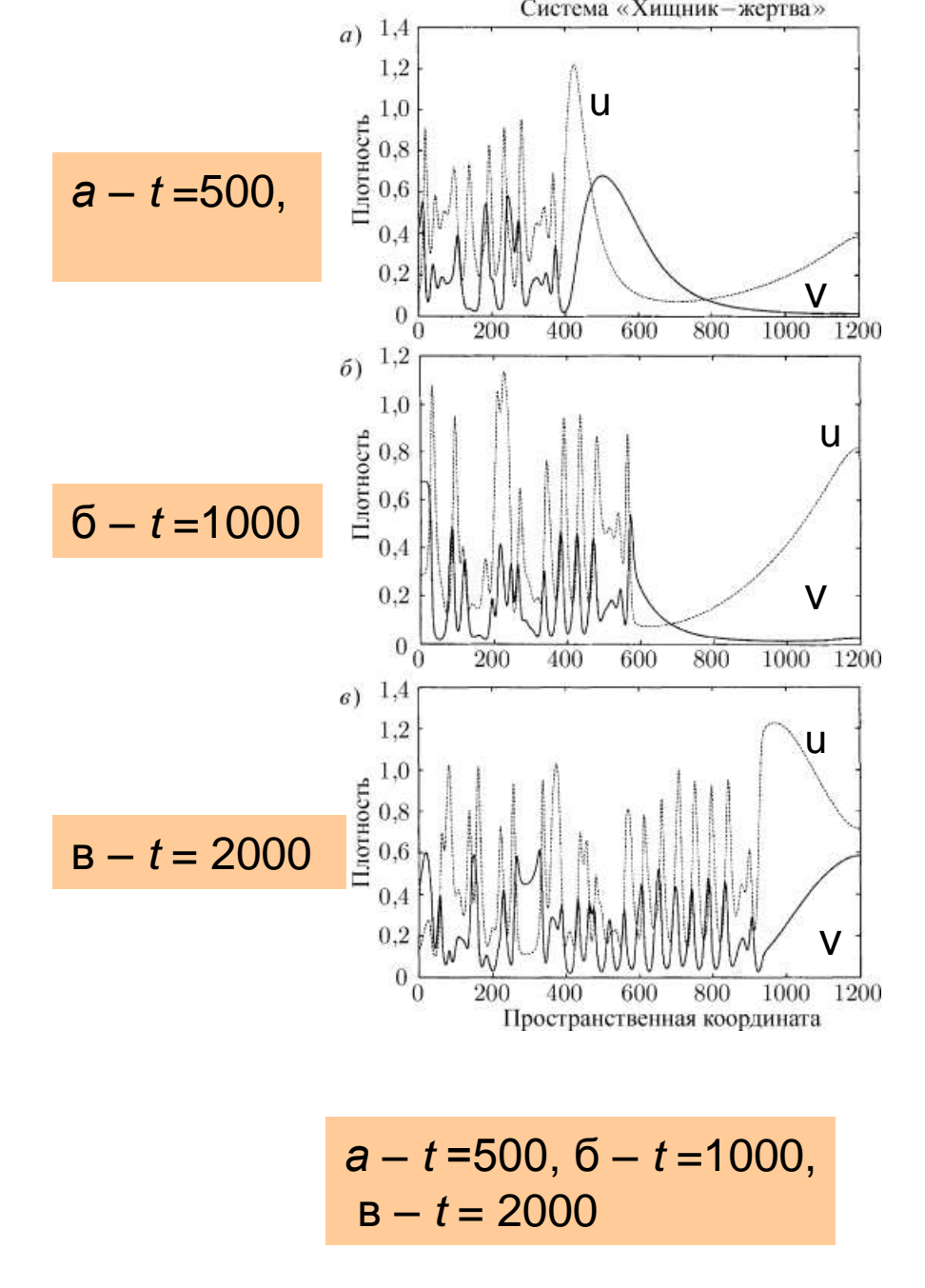
$$u(x,t) = u_3,$$
  
 $v(x,0) = v_3 + [\varepsilon(x - x_0) + \delta].$   
 $\delta = 0.01, \varepsilon = 0.0004, x_0 = 0$ 

6 - t = 1000

B - t = 2000

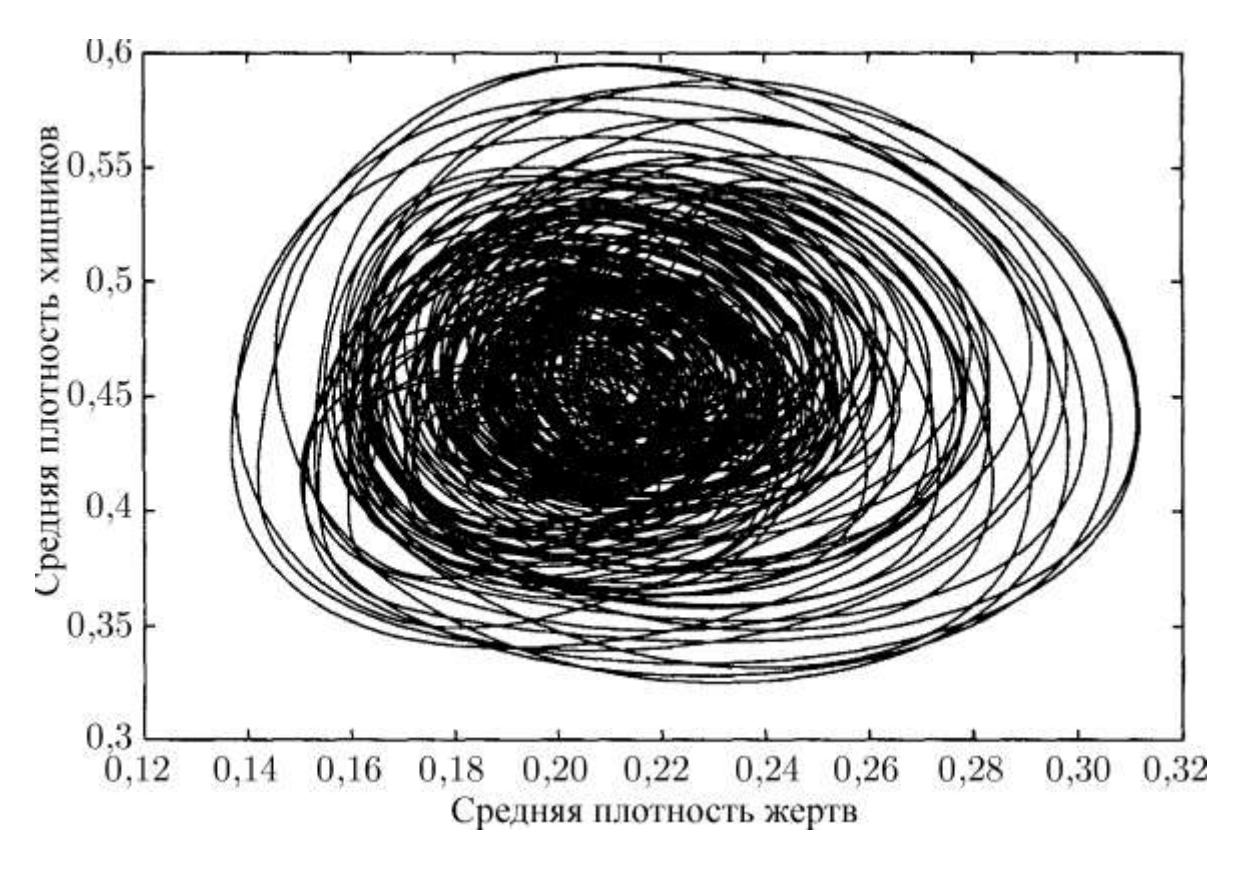
Petrovskii S.V. and Malchow H. A minimal model of pattern formation in prey-predator system. *Math. Comput. Modelling* **29**: 49-63, 1999





### Пространственный хаос

Фазовый портрет в точке х=480 после того, Как хаотическое поведение охватило весь ареал



В распределенной системе процессы переноса приводят к хаотизации поведения всей системы

## Пятна плотности взаимодействующих популяций

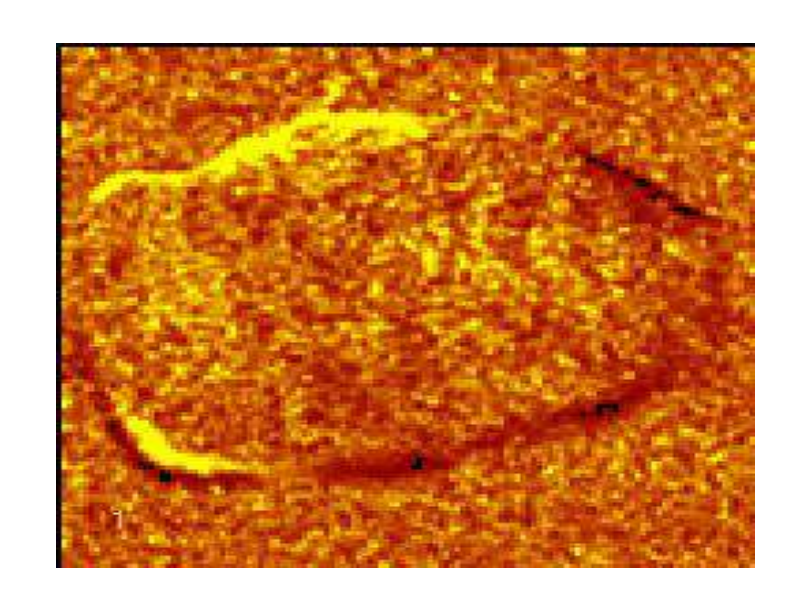


- Хищник реагирует на неоднородность распределения жертв, изменяя скорость своего движения в направлении градиента их плотности, происходит агрегация популяции хищника. Достигнув точки максимальной плотности жертв, хищник замедляет свое движение, так как его ускорение меняет направление на противоположное. Агрегация хищников приводит к локальному вымиранию жертв.
- В пятнах с низкой плотностью хищников образуются локальные убежища, где происходит рост популяции жертв, и хищник устремляется в направлении вновь образовавшихся скоплений



Аксон 9-дневной мыши

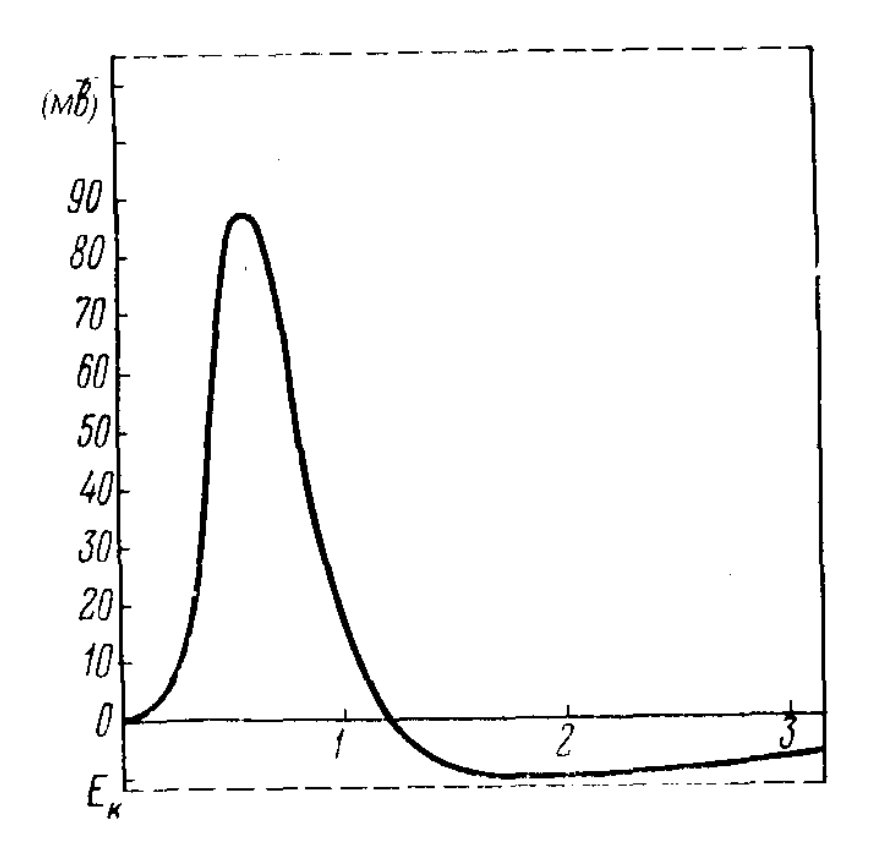
# Распространение нервного импульса и активность сердца



Потенциалы в сердце

## Задача распространения нервного импульса.

В ответ на ступенчатое изменение напряжения вдоль мембраны проходит одиночный нервный импульс— потенциал действия, который длится примерно 1 мс и распространяется со скоростью от 1 до 100 м/с.



Форма нервного импульса во времени. Потенциал отсчитывается от уровня потенциала покоя.

По оси х – время в мс.



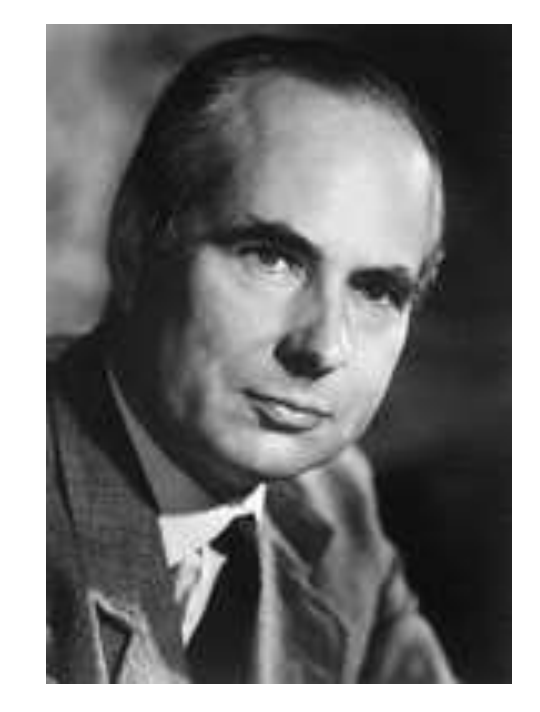
#### A.L.Hodgkin

#### Модель Ходчкина-Хаксли

Нобелевская премия 1963

**Hodgkin A.L., Huxley A. F.** A quantitative description of membrane current and its application to conduction and excitation in nurve // *J. Physiol.* (London), 1952, v.117, p. 500-544.

$$I(t) = C \frac{dV}{dt} + I_{i,} \quad I_{i} = I_{Na} + I_{K} + I_{L}.$$



A.F.Huxley

$$\frac{a}{2R}\frac{\partial^2 V}{\partial r^2} = C\frac{\partial V}{\partial t} + (V - E_K)\overline{g}_K n^4 + (V - E_{Na})\overline{g}_{Na} m^3 h + (V - E_0)\overline{g}_0,$$

$$\frac{dn}{dt} = \alpha_n (1 - n) - \beta_n n,$$

$$\frac{dm}{dt} = \alpha_m (1 - m) - \beta_m m,$$

$$\frac{dh}{dt} = \alpha_h (1 - h) - \beta_h h,$$

Калиевый ток

Натриевый ток

Другие ионы

Ходжкин А. Нервный импульс. М., Мир, 1965

Hodgkin A.L. and Huxley A.F. A quantitative description of membrane current and its application to conduction and excitation in nerve. J Physiol. (London) **117**, 500-544, 1952

#### Модель Фитцхью-Нагумо

**Fitzhugh R.** Impulses and physiological states in theoretical model of nerve membrane // *Biophys. J.*, 1961, v.1, p. 445-466.

**Nagumo J.S., Arimoto S., Yoshizava S.** An active pulse transmission line simulating nerve axon // *Proc. IRE,* 1962, v. 50, p. 2061-2071.



Мембранный потенциал

Остальные переменные

$$\frac{du}{dt} = f(u) - v + I_a, \quad \frac{dv}{dt} = bu - \gamma v,$$

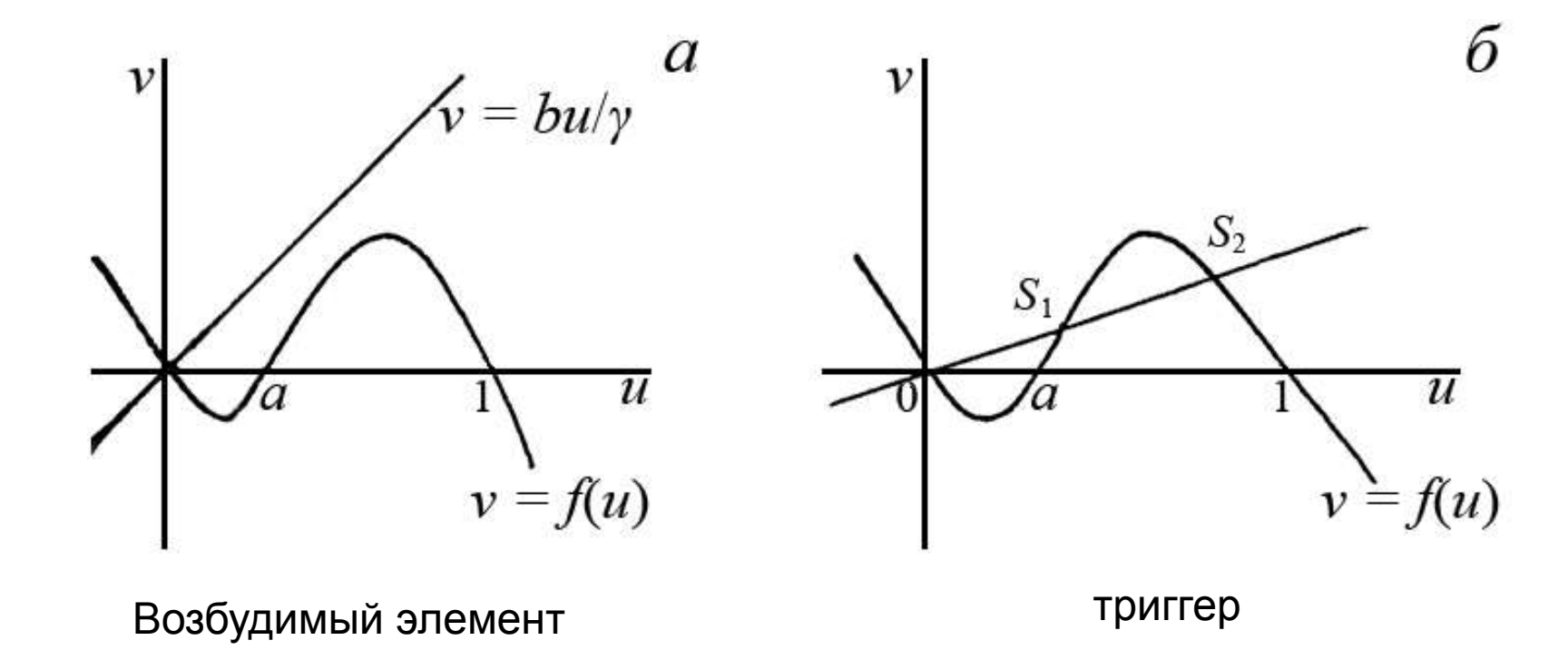
$$f(u) = u(a - u)(u - 1).$$

**Ричард ФитцХью́** (FitzHugh Richard, 1922-2007)

#### Главные изоклины

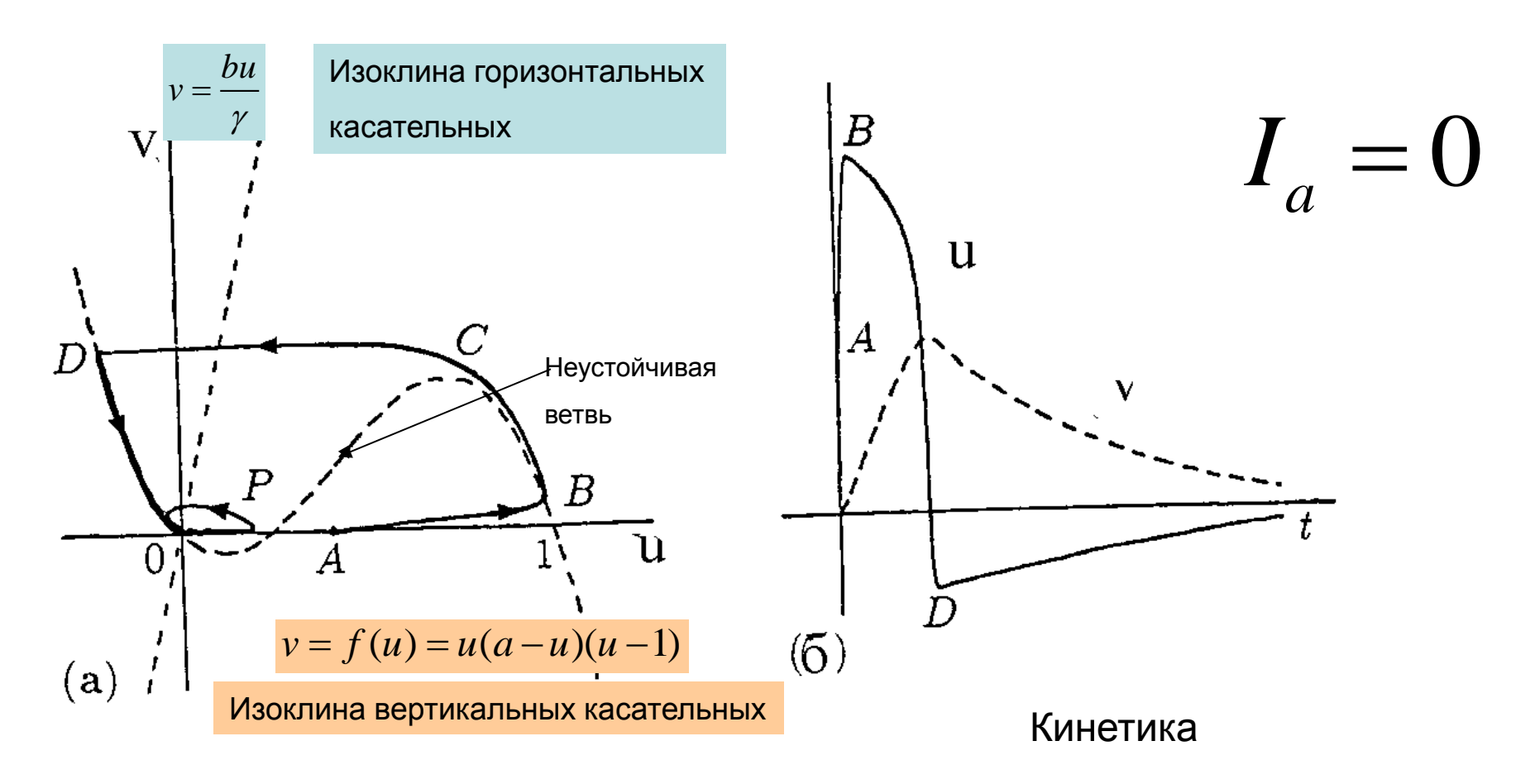
$$\frac{du}{dt} = f(u) - v + I_a, \quad \frac{dv}{dt} = bu - \gamma v,$$

$$f(u) = u(a - u)(u - 1).$$



Расположение главных изоклин системы в случае  $I_a = 0$  на фазовой плоскости u, v для разных значений отношения  $b/\gamma$ . a — одно устойчивое стационарное состояние (0, 0),  $\delta$  — два устойчивых стационарных состояния (0, 0) и S2 и одно неустойчивое — седло S1

#### Возбудимый элемент

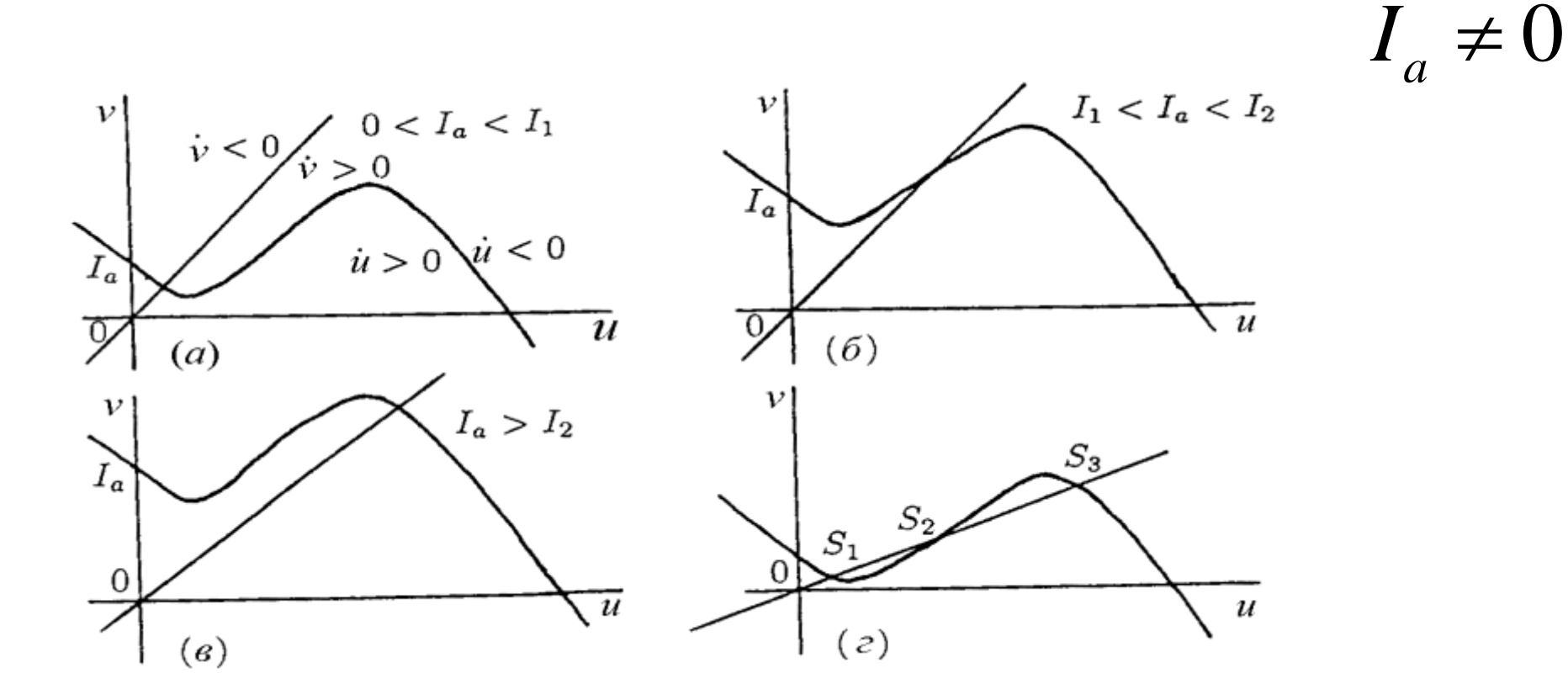


$$\frac{du}{dt} = f(u) - v, \quad \frac{dv}{dt} = bu - \gamma v, \qquad I_a = 0$$

$$f(u) = u(a - u)(u - 1).$$

Надпороговое возбуждение

#### Главные изоклины системы Фитцхью-Нагумо



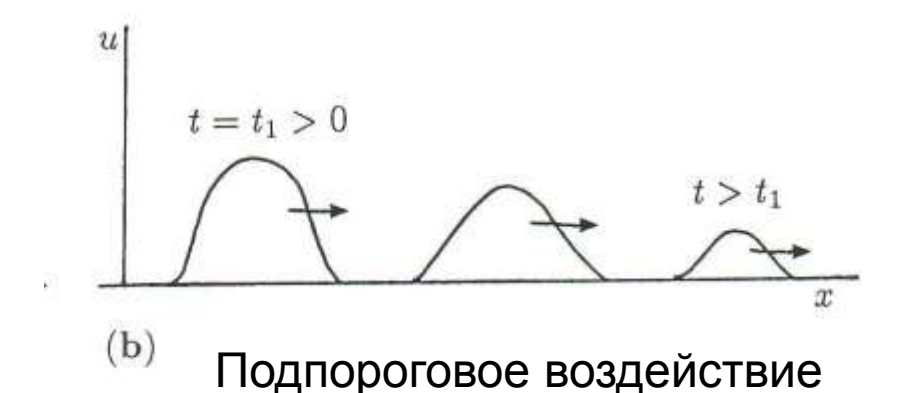
В случаях а) и в) стационарное состояние локально устойчиво, но «возбудимо» в том смысле, что при достаточно больших отклонениях изображающая точка описывает траекторию, соответствующую одиночному «импульсу». В случае б) стационарное состояние неустойчиво, возможно существование предельного цикла и автоколебаний. В случае г) состояние S2 – неустойчиво, а S1 и S3 - устойчивы, между ними возможны переключения

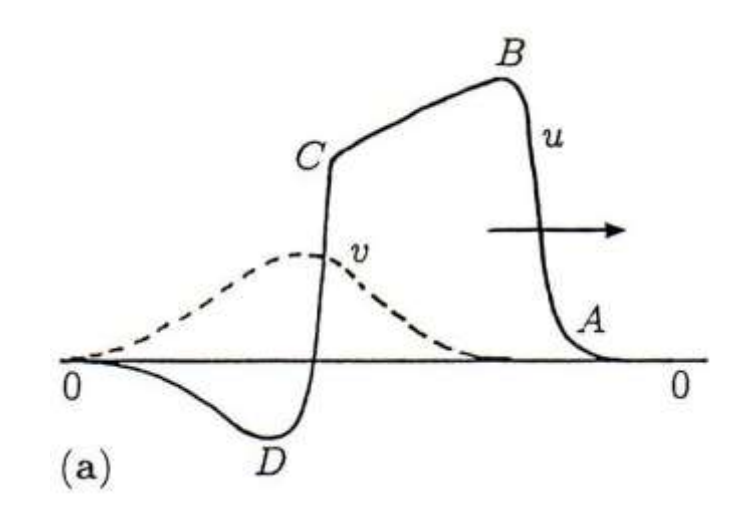
#### Распределенная модель Фитцхью-Нагумо

$$\frac{du}{dt} = f(u) - v + I_a + D \frac{\partial^2 u}{\partial x^2}$$

$$\frac{dv}{dt} = bu - \gamma v$$

$$f(u) = v(a-u)(u-1).$$

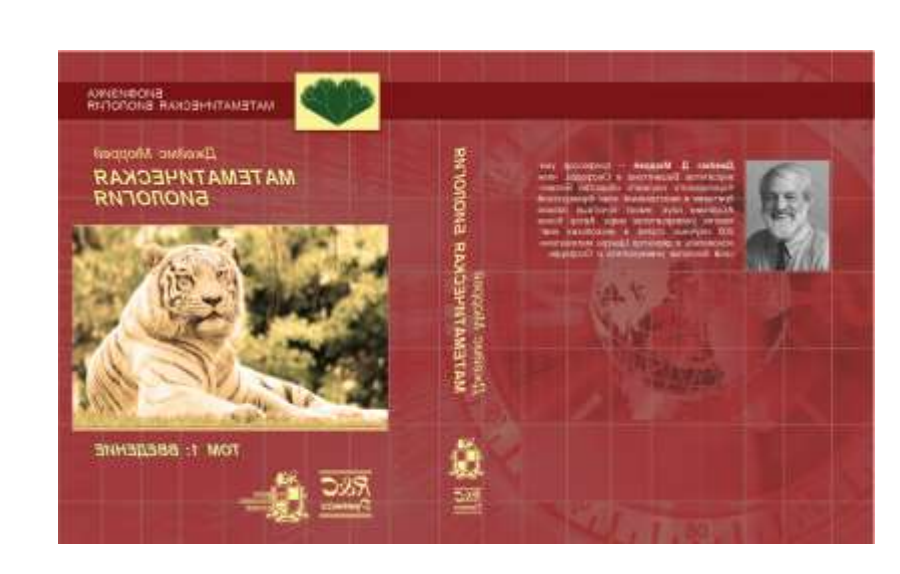




Мюррей, часть 1

Χ

Надпороговое воздействие









# Моделирование процессов возбуждения в сердце

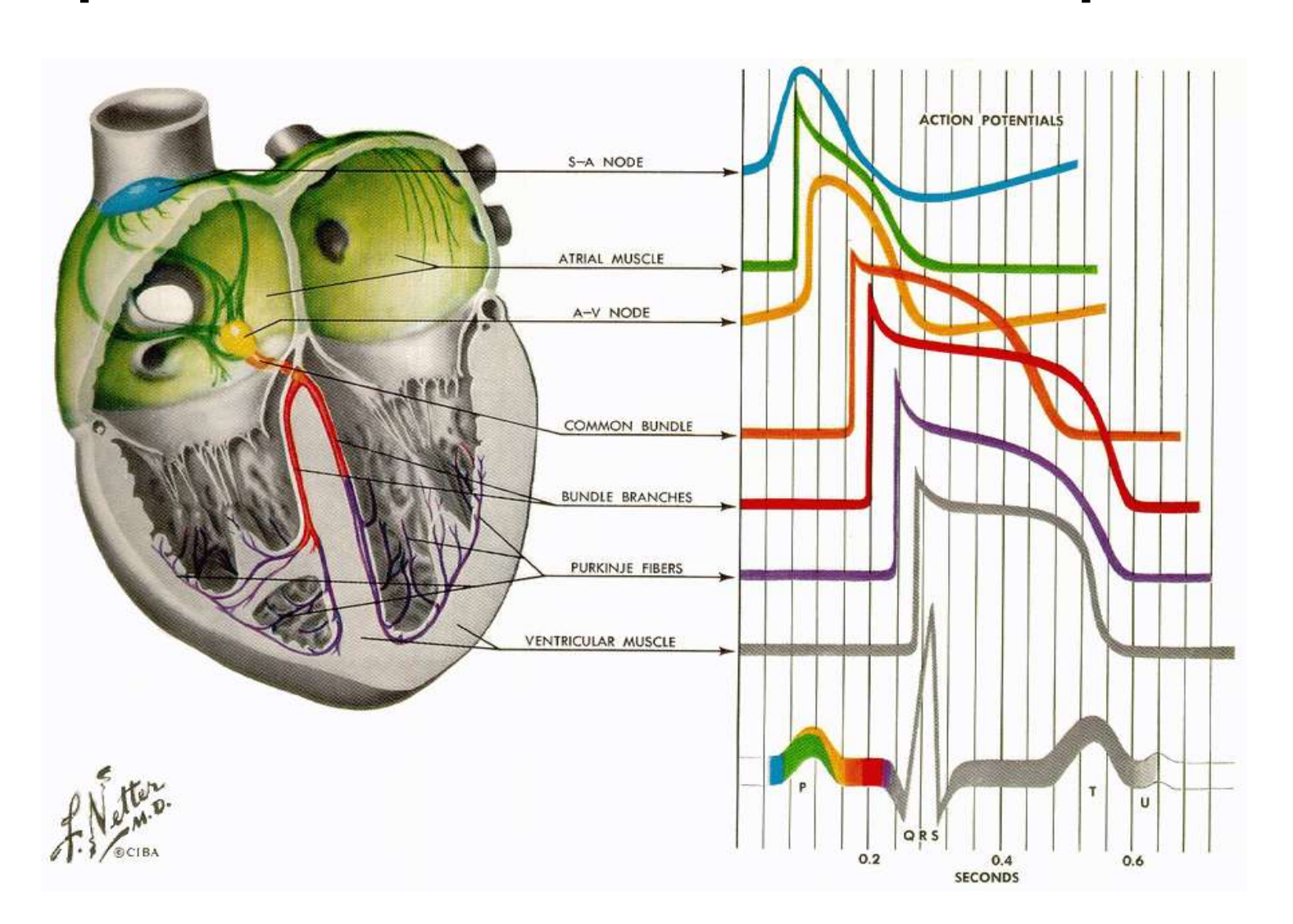


Сердце – объемная система со сложной пространственной организацией, в которой каждый элемент является или генератором колебаний или возбудимым элементом

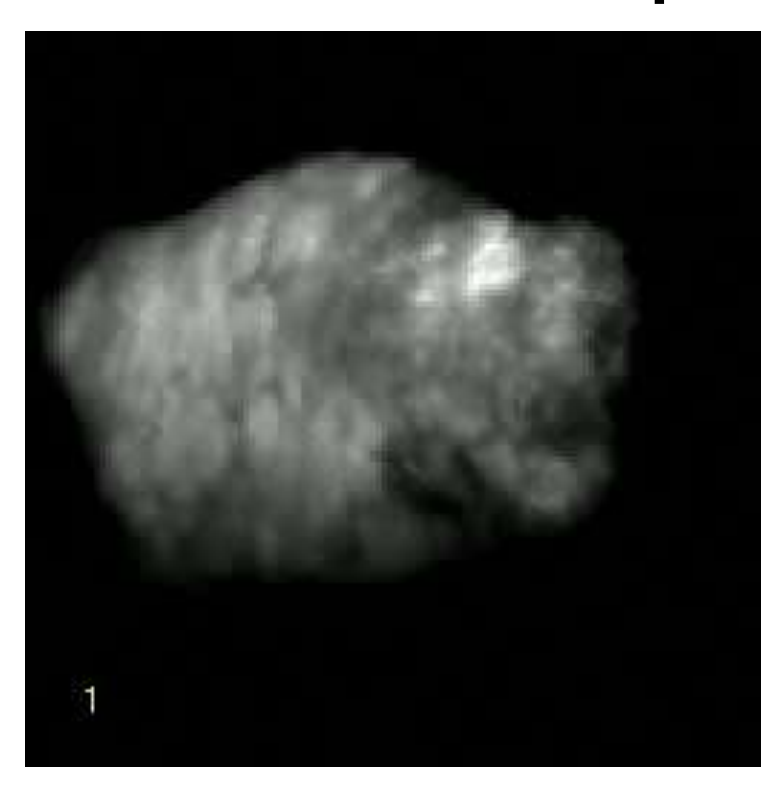


Сердце – культурный и научный символ

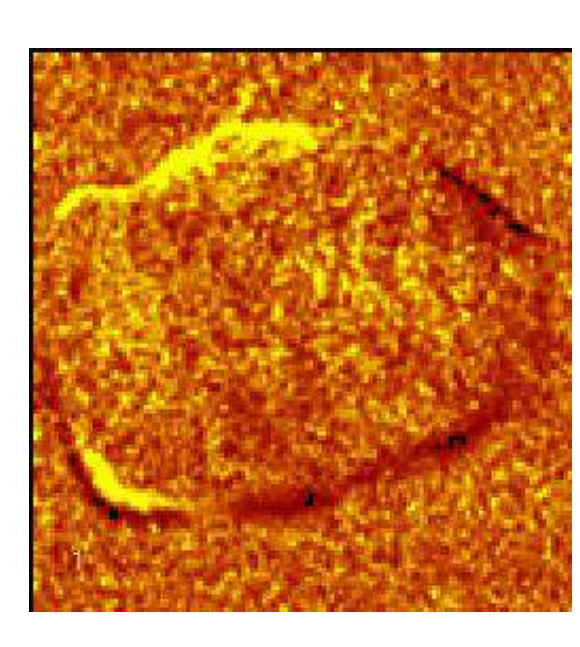
### Форма Потенциала Действия в различных отделах сердца



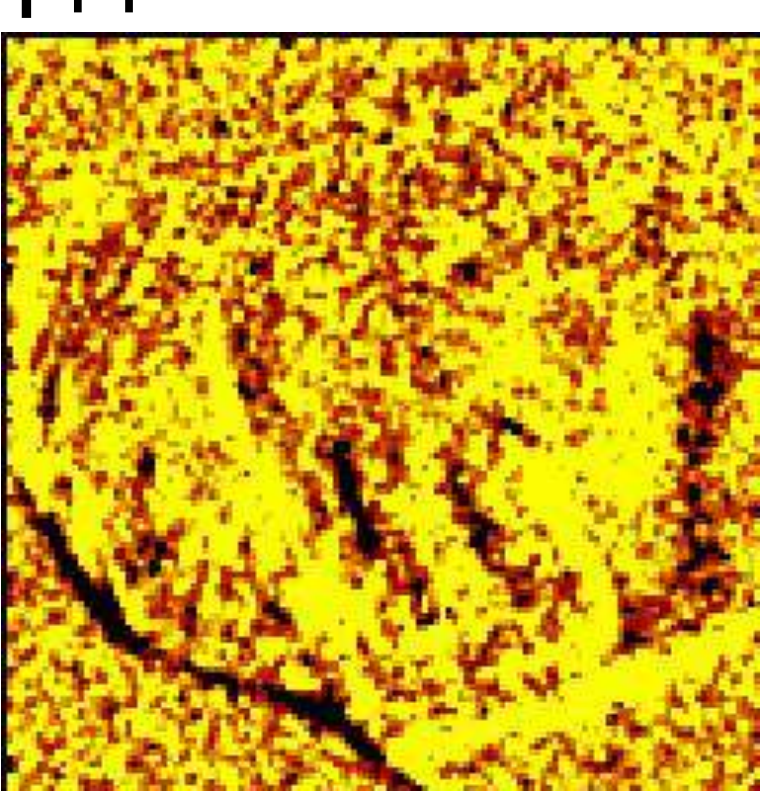
### Эксперимент: оптическое картирование эпикарда



Mechanical + electrical activity

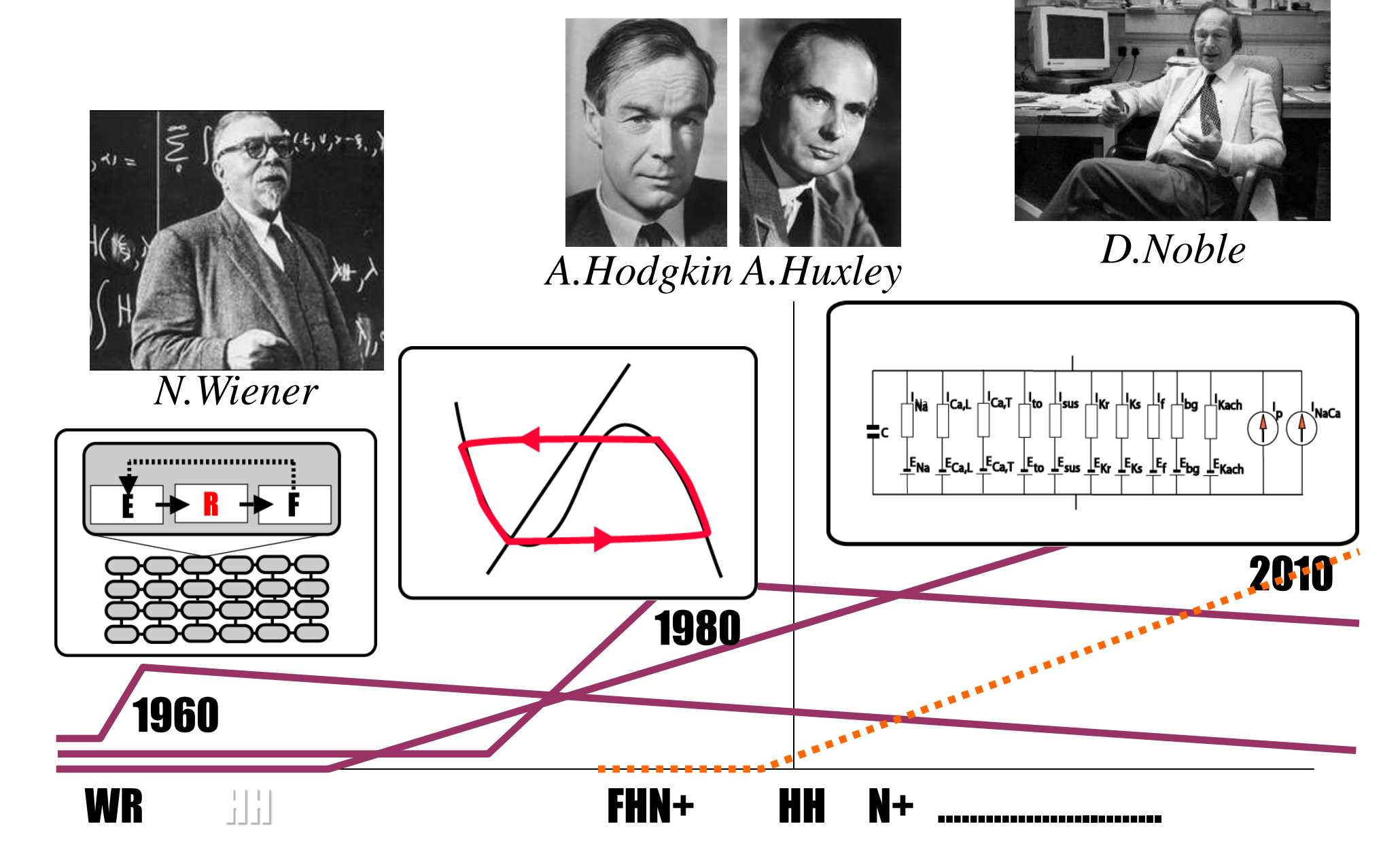


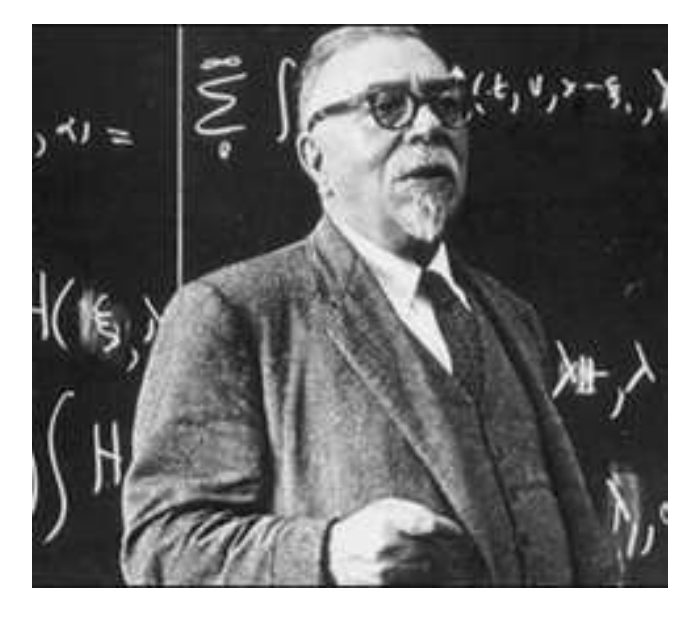
Electrical activity



Cold arrhythmia

#### Моделирование волн в сердечной ткани





Аксиоматические модели возбудимой среды (Н.Винер, Розенблют, Гельфанд, Цетлин)

N. Wiener 1894-1964

Wiener N. and Rosenblueth A. The mathematical formulation of the problem of conduction of impulses in a network of connected excitable elements, specifically in cardiac muscle // *Arch. Inst. Cardiologia de Mexico*, 1946, № 3-4, v.16, p. 205-265.

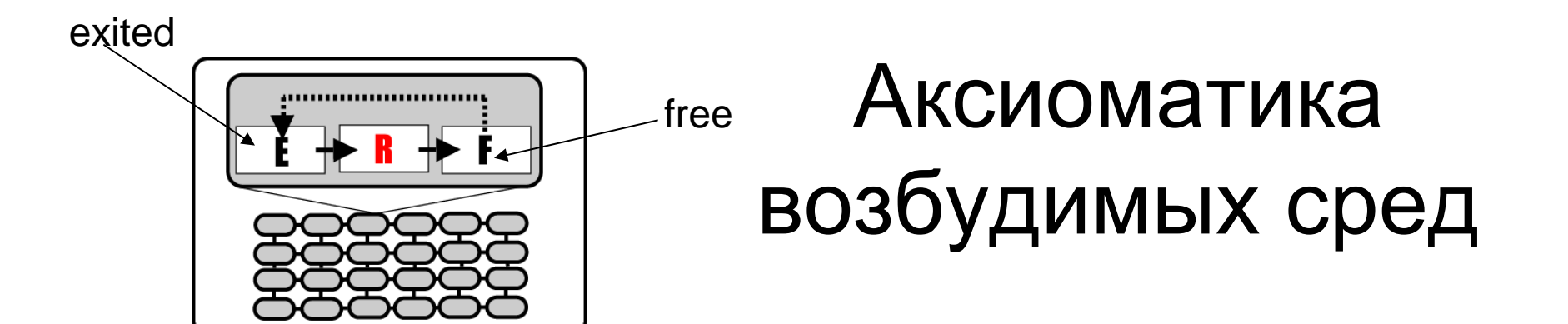
Гельфанд, И., М., , В. Гурфинкель, С., , et al. (1963). "О синхронизации двигательных единиц и связанных с нею модельных представлениях." <u>Биофизика</u> **8**(4): 475-486.



И.М.Гельфанд

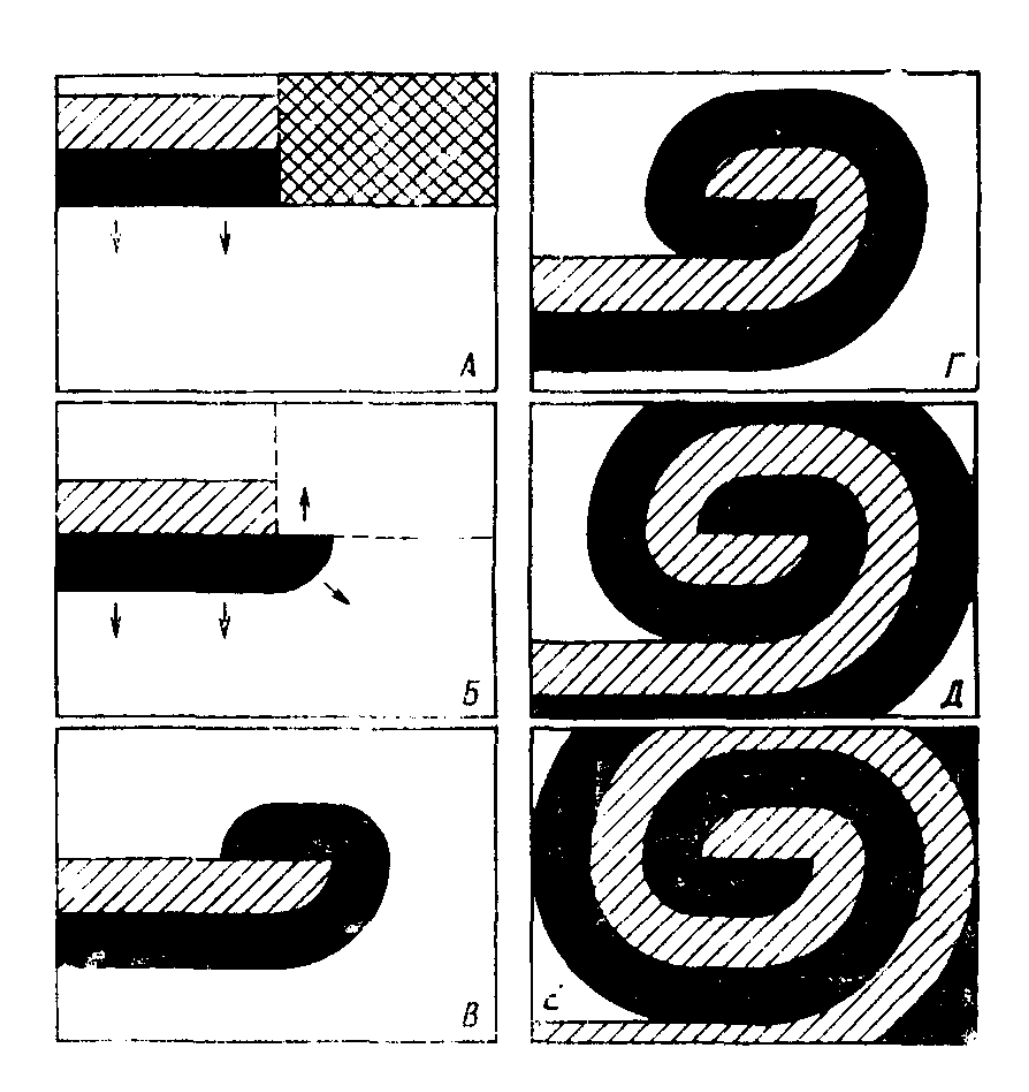
1913 - 2009

Винер, Н. и Розенблют А. (1961). "Проведение импульсов в сердечной мышце. Математическая формулировка проблемы проведения импульсов в сети связанных возбудимых элементов, в частности в сердечной мышце." <u>Кибернетический сборник ИЛ</u> 3.



- 1. Каждый элемент *х* множества *X* может находиться в одном из трех состояний: покой (free), возбуждение (exited) и рефрактерность (refracted).
- 2. Состояние возбуждения имеет некоторую длительность  $\tau$  различную, вообще говоря, для разных x, затем элемент переходит на время R(x) в рефракторное состояние, после чего возвращается в состояние покоя.
- 3. От каждого возбужденного элемента возбуждение распространяется с некоторой скоростью у по множеству находящихся в покое элементов.
- 4. Если элемент x не был возбужден в течение некоторого определенного времени T(x), то по прошествии этого времени он самопроизвольно переходит в возбужденное состояние. Время T(x) называется периодом спонтанной активности элемента x. Предельным является случай, когда  $T(x) = \infty$ , то есть спонтанная активность отсутствует.

### Ревербераторы (спиральные волны)

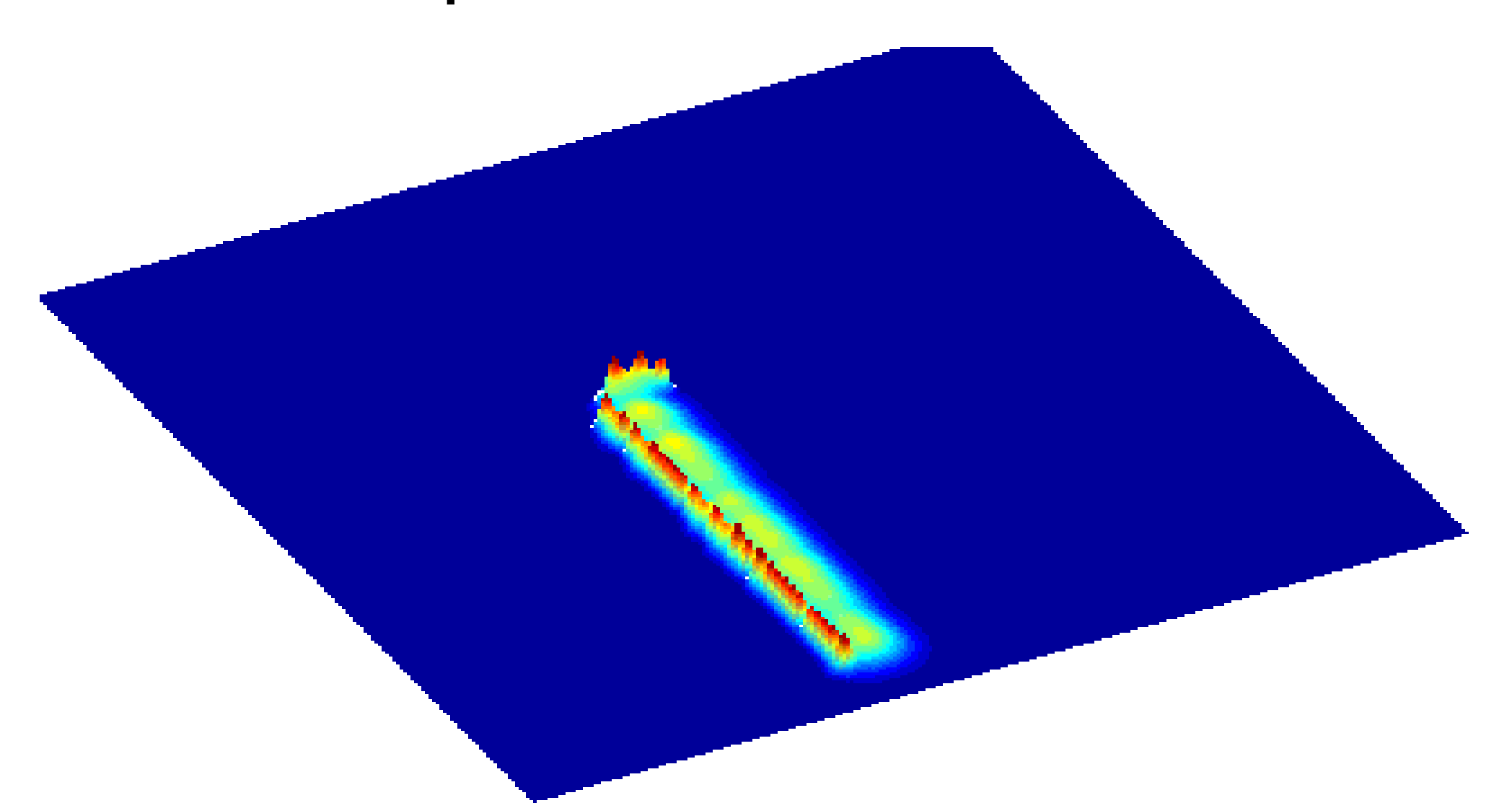


#### Как закручивается волна?

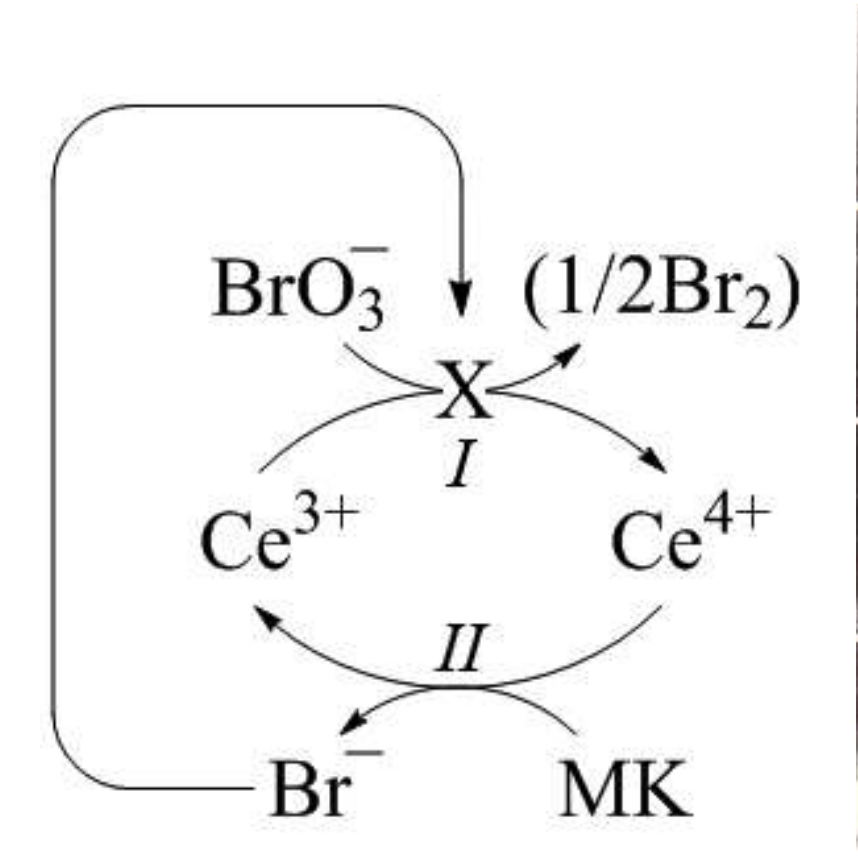
Волна возбуждения идет сверху вниз; черным показана возбужденная среда, штриховкой — рефрактерная среда; сеткой (на A) — невозбудимый участок среды, который становится возбудимым (на Б) как раз в тот момент, когда мимо него проходит волна возбуждения.

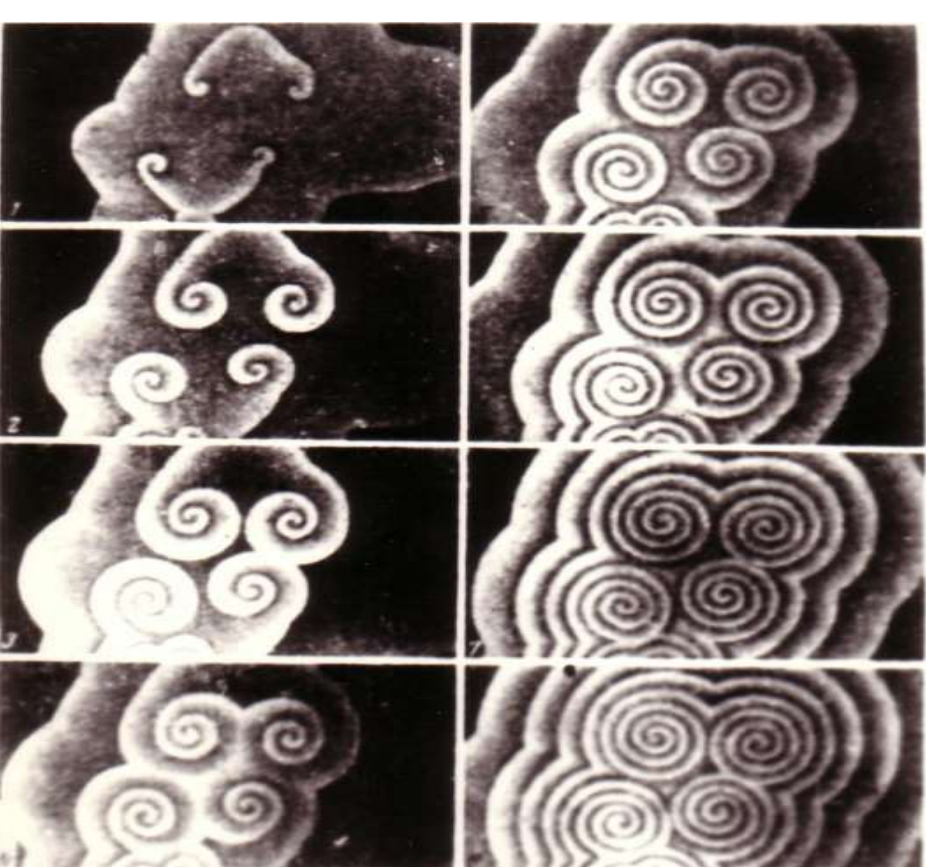
В—Е—дальнейший ход волны при возникновении ревербератора.

## Разрыв фронта и возникновение спиральной волны



### Изучение спиральных волн в BZ-реакции







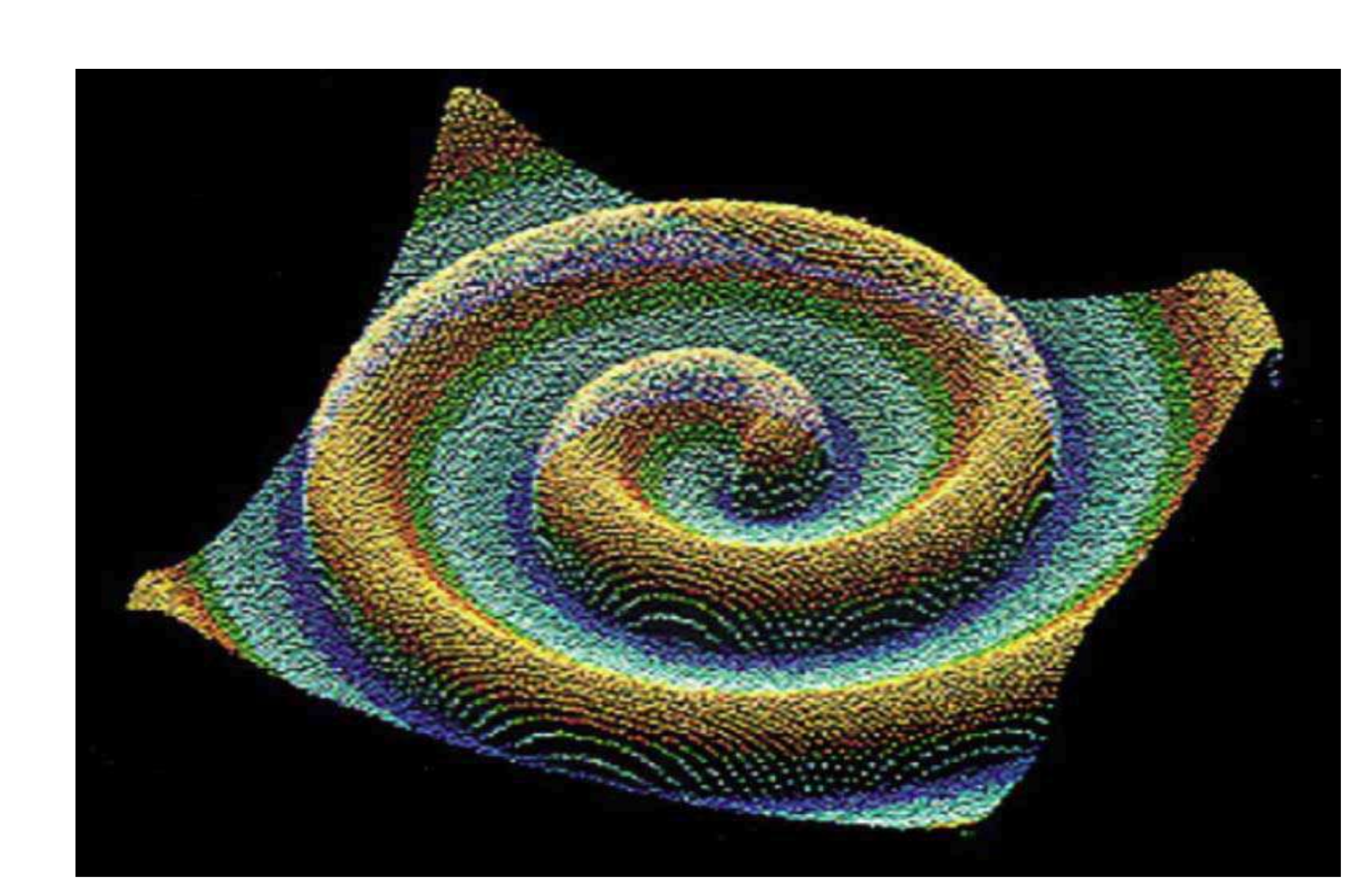
Борис Павлович Белоусов 1893-1970

#### Спиральные волны в BZ реакции

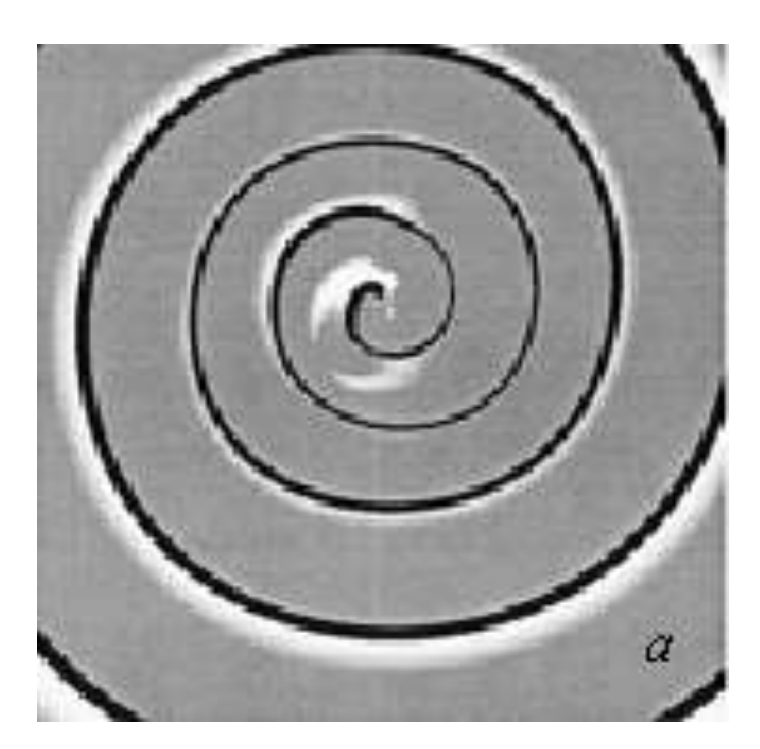
Заикин и Жаботинский первые обнаружили концентрические волны в1970. Волны распространяются из некоего центра, называемого пейсмекером и имеют форму мишеней для стрельбы. «Target patterns».

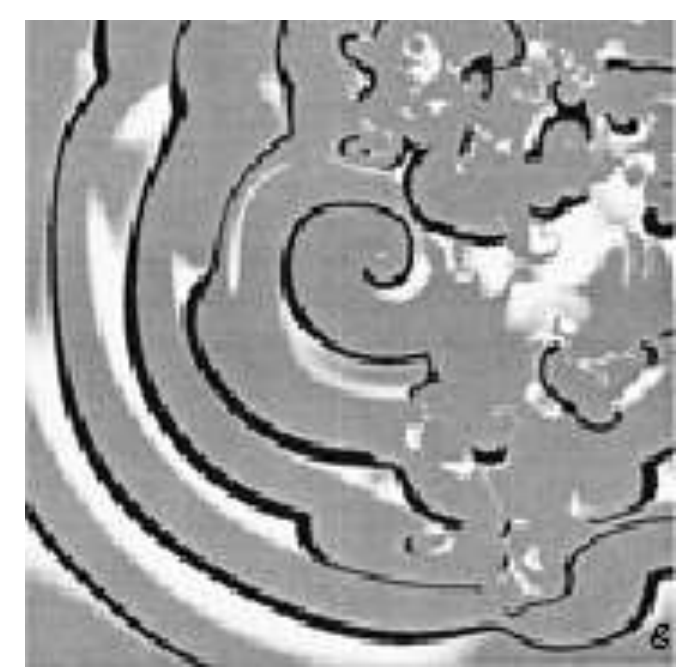
Винфри (Winfree) в 1972 открыл спиральные волны в пространственно-распределенной реакции Белоусова-Жаботинского.

A. C. Михайлов и Kenneth Showalter Physics Reports 425 (2006) 79.

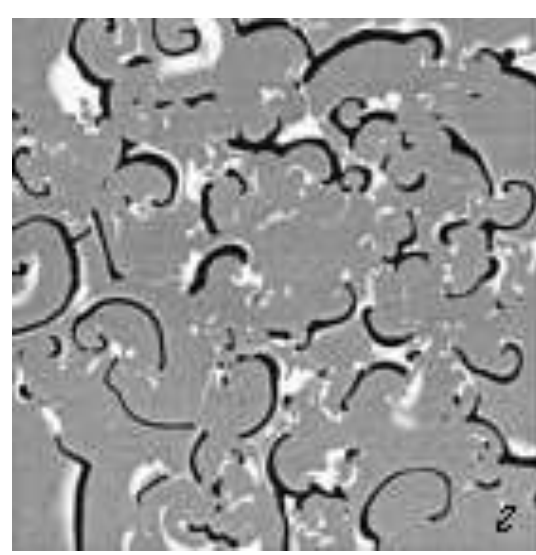


#### Эволюция спиральной волны









#### Эксперименты с ВZ реакцией



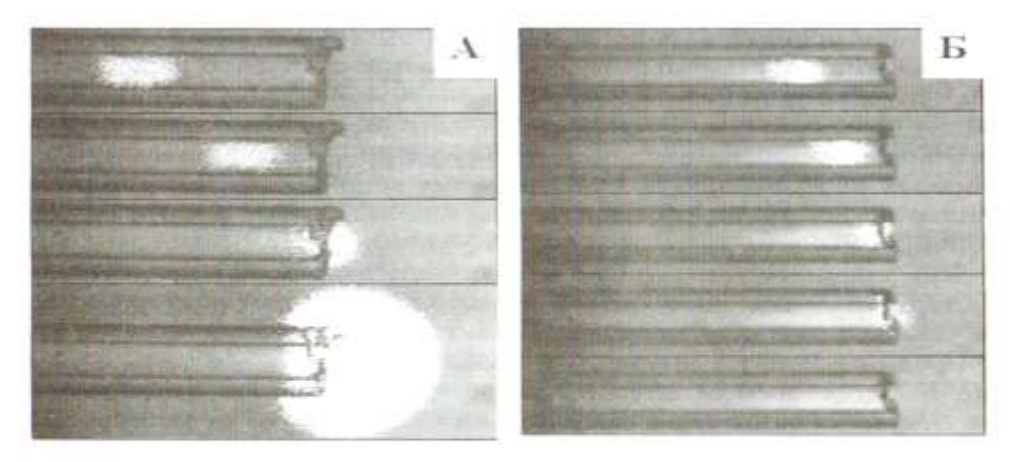
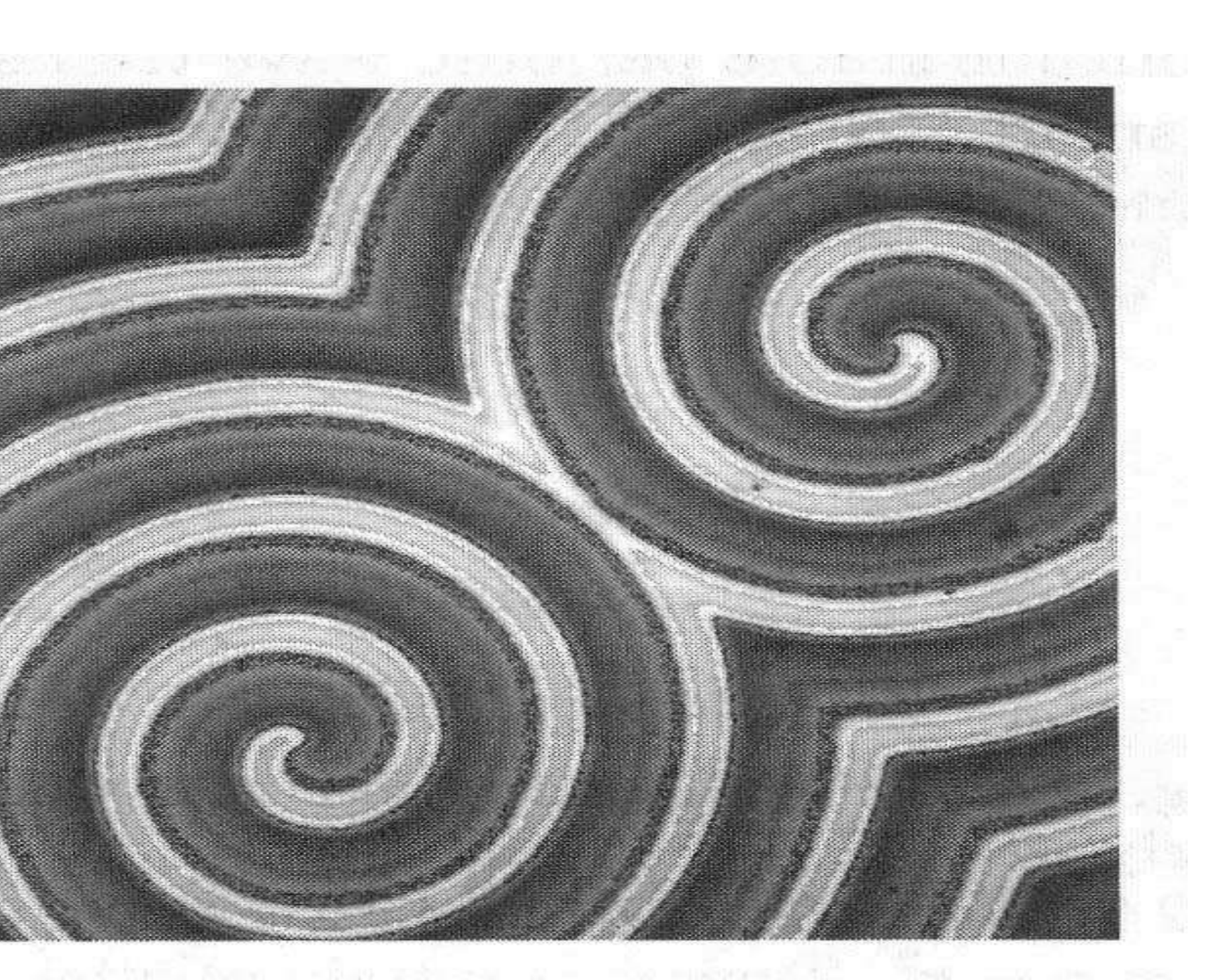


Рис. 3.8. Распространение волны в стеклянном капилляре в реакции Белоусова-Жаботинского. Химический состав БЖ реакции внутри капилляра и снаружи одинаков. Волна инициировалась на дальнем левом конце капилляра. Снимки на левой (А) и правой (Б) панелях сделаны через 5-секундные интервалы времени. Внутренний диаметр капилляра 160 мкм. (А) Общий размер = 1.45 мм × 0.71 мм. [BrO<sub>3</sub>] = 0.15 М. (Б) Общий размер = 1.9 мм × 0.44 мм. [BrO<sub>3</sub>] = 0.10 М. Концентрации других реагентов БЖ-реакции: [H<sub>2</sub>SO<sub>4</sub>]=0.14 М. [MA]=0.02 М. [катализатор] = 9×10<sup>-4</sup> М (катализатор = сульфобатоферроии). Рисунок воспроизводится с любезного разрешения Kenneth Showalter<sup>34</sup>

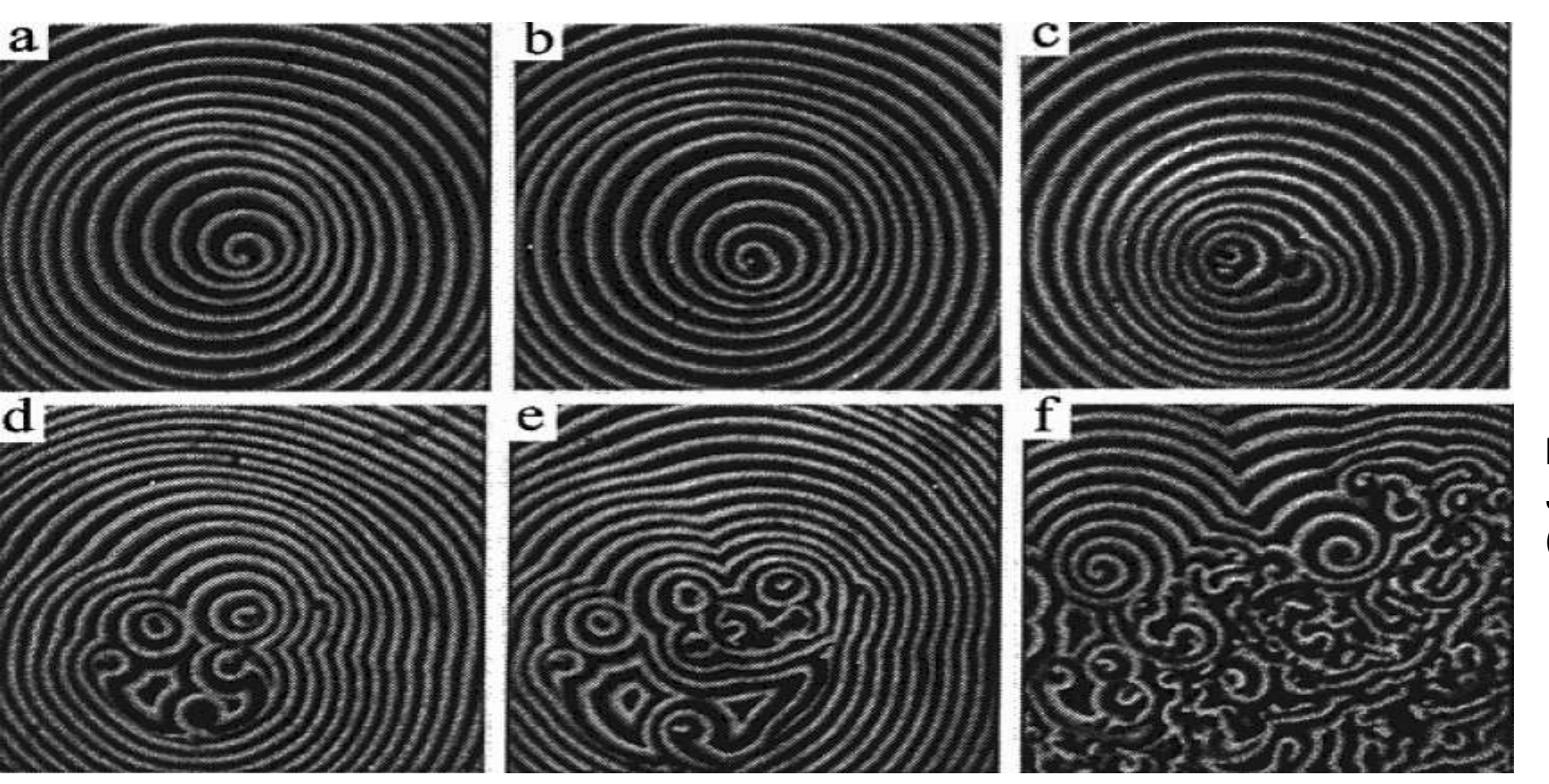
Химический диод – два капилляра Волна может выходить из капилляра с большим диаметром и входить в капилляр с малым диаметром. При движении в обратном направлении волна затухает при выходе из капилляра малого диаметра

Эксперимент и теория



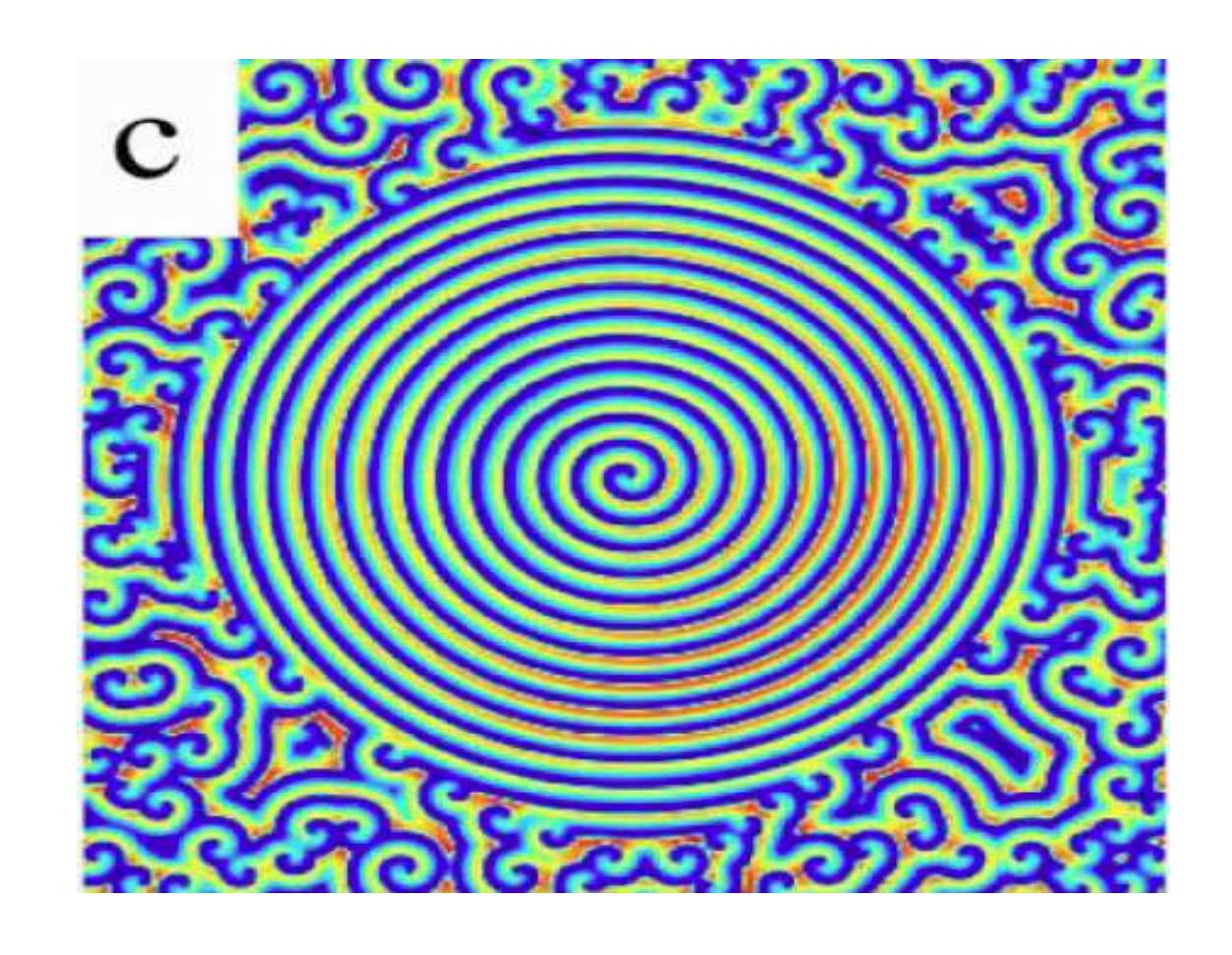
Спиральные волны в системе Белоусова-Жаботинского размер ячейки 9 кв. мм. (Muller, Plesser et al. 1986)

#### Допплер-Нестабильность спиральных волн



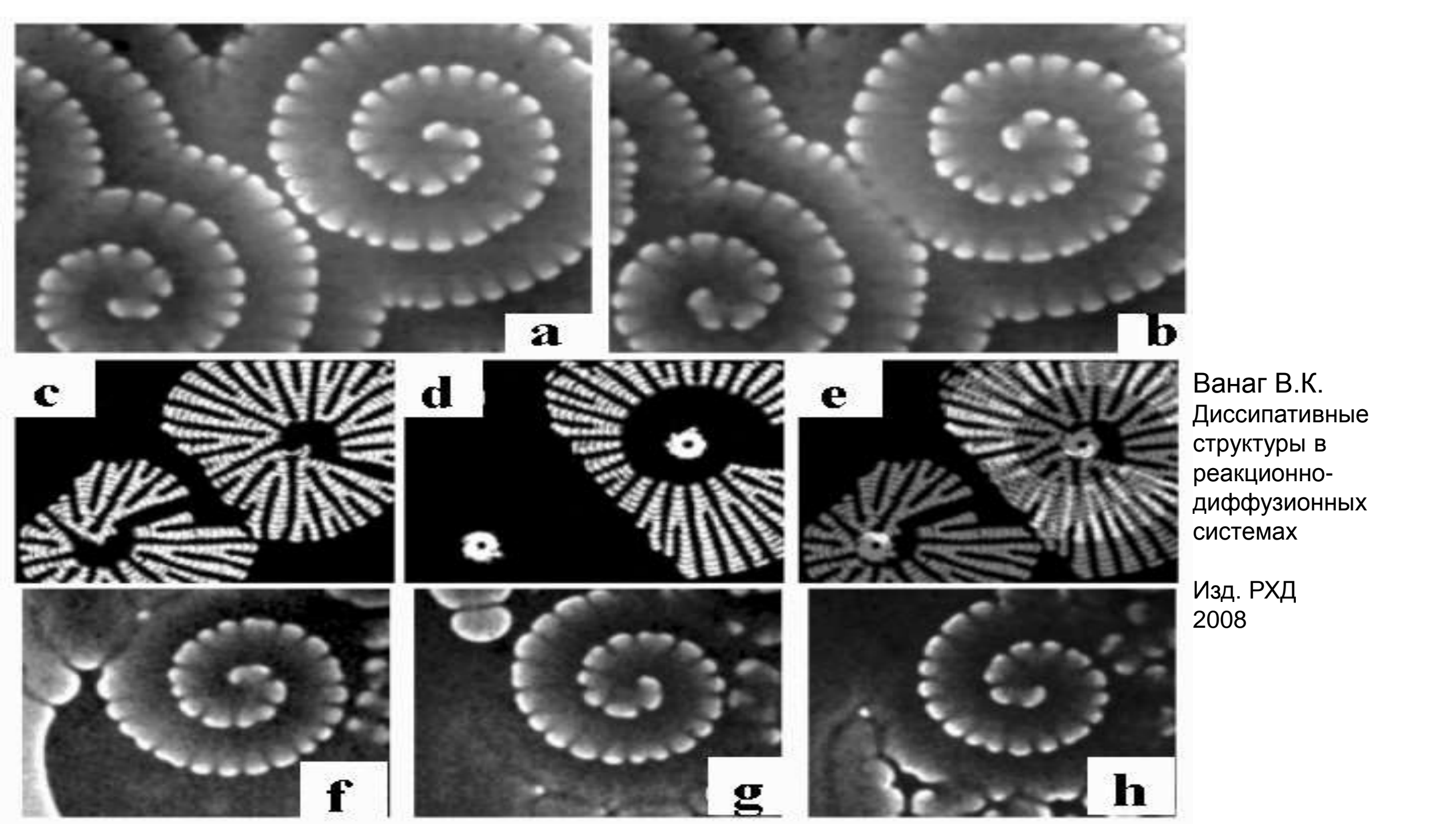
L.Q. Zhou, Q. Ouyang. J. Phys. Chem. A105 (2001) 112.

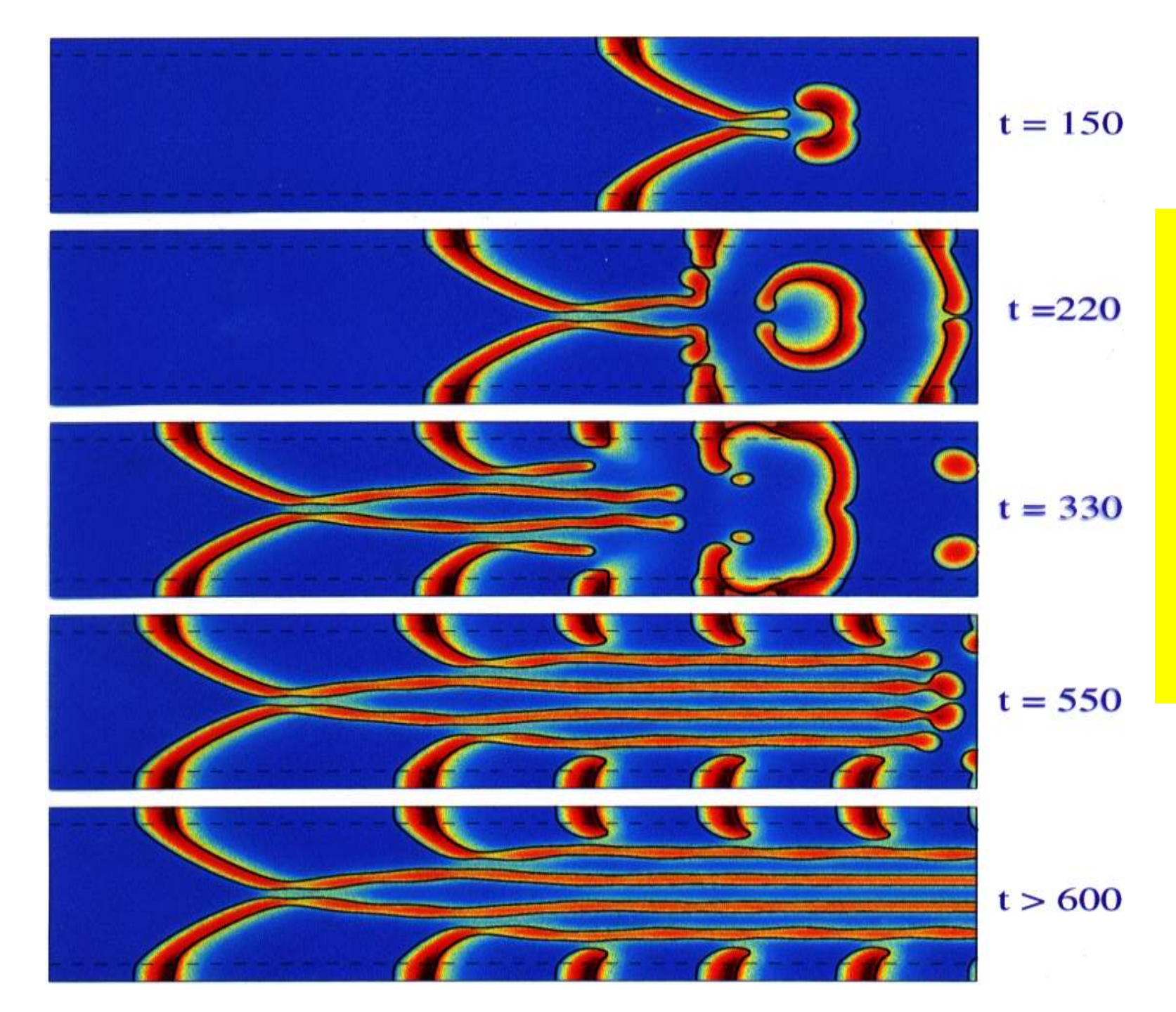
#### Нестабильности спиральных волн



Zhang L., Gao Q., Wang Q, .et al Phys. Rev. E 74 (2006) 046112.

V. K. Vanag and I. R Epstein, Proc. Natl. Acad. Sci. **100**, 14635 (2003).

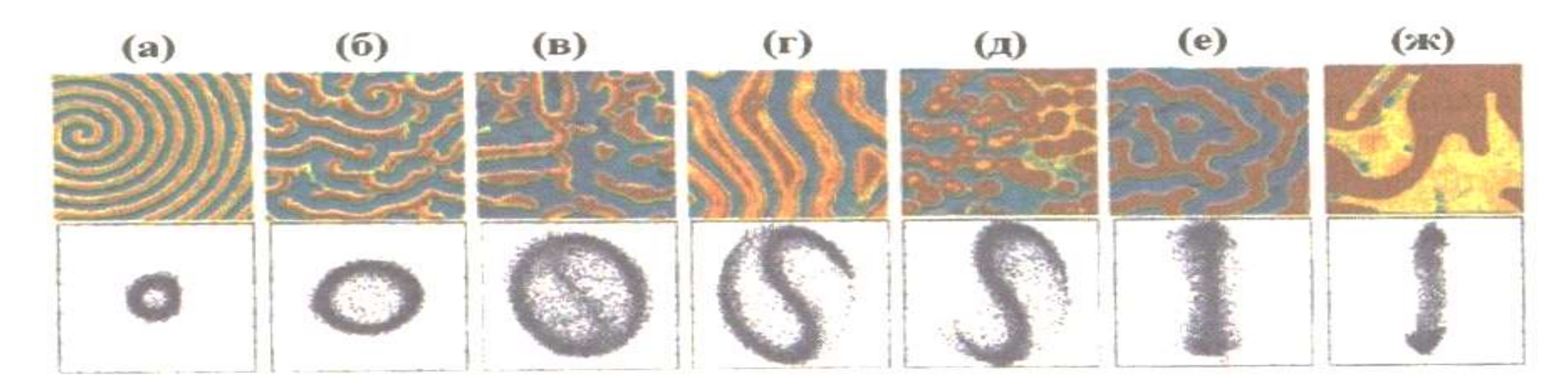




#### Эволюция структур в системе B-Z реакции

B.Зыков, S.Muller

#### Структуры при периодическом воздействии

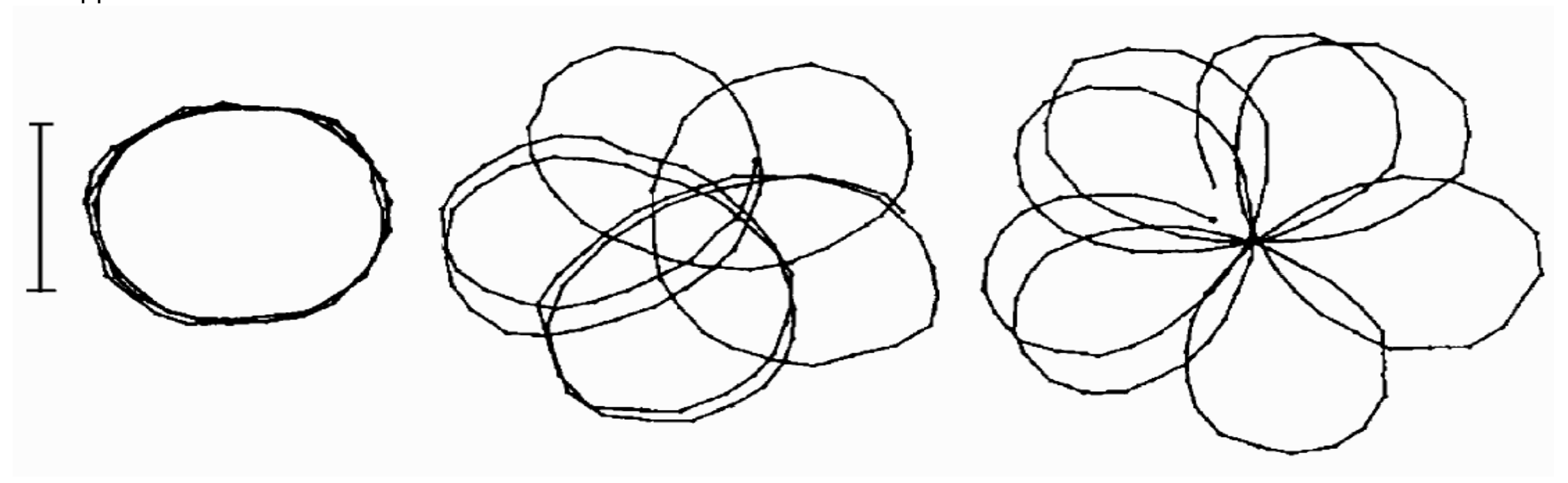


**Рис. 8.9**. Различные типы диссипативных структур в БЖ-реакции при ее периодическом освещении с частотой f (Гц) и интенсивностью  $I_{\text{max}}$  (Вт/м²), соответственно равными (а) 0, 0, (б) 0.1, 119, (в) 0.0625, 214, (г) 0.0556, 248, (д) 0.0417, 358, (е) 0.0455, 386, (ж) 0.0385, 412. (а) – (в) – это волновые (движущиеся) структуры, (г)–(ж) — это стоячие структуры (колебательные кластеры). Все

Linn et al. Resonance Phase Patters in a Reaction-Diffusion system/ Phys.Rev.Lett 84, 4240(2000)

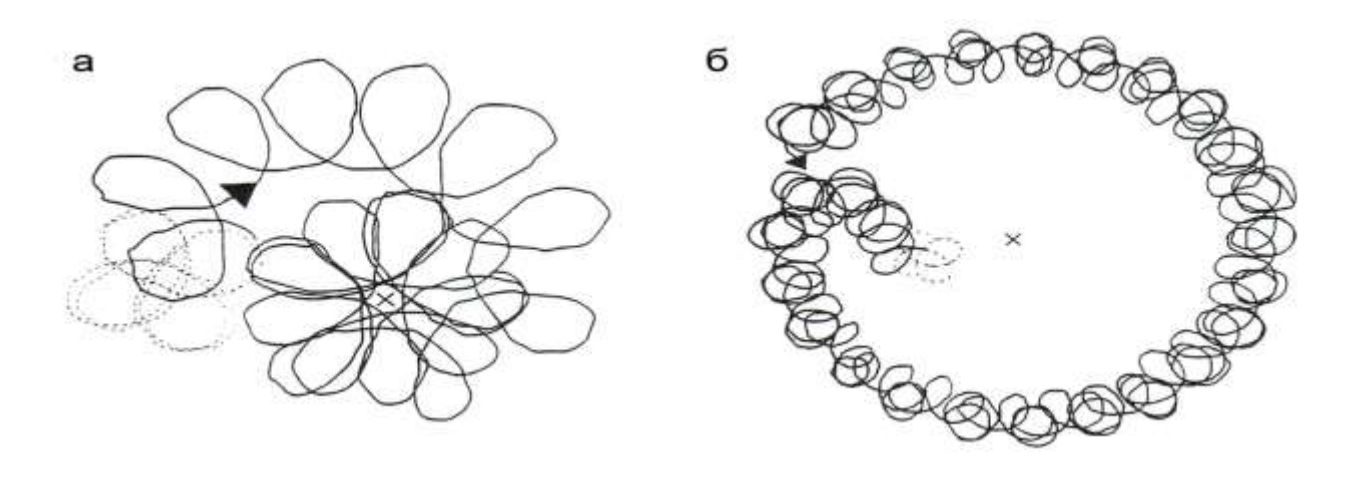
#### Меандринг

Кончик спиральной волны может быть неподвижен в пространстве или совершать сложные движения

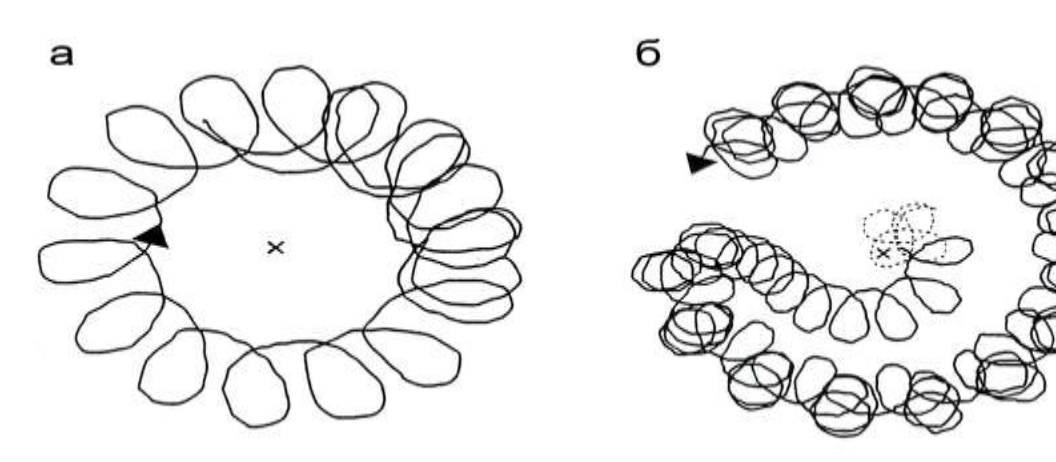


Вращение кончика спиральной волны (миандеринг) при [BrO3-] = 0.027, 0.0279, 0.0301 М. Масштабный отрезок равен1 мм. А. С. Михайлов и Kenneth Showalter Physics Reports 425 (2006) 79

### Траектории кончика спиральной волны, полученные в эксперименте для светочувствительной BZ-реакции.



Эксперимент (Grill et al., 1995)



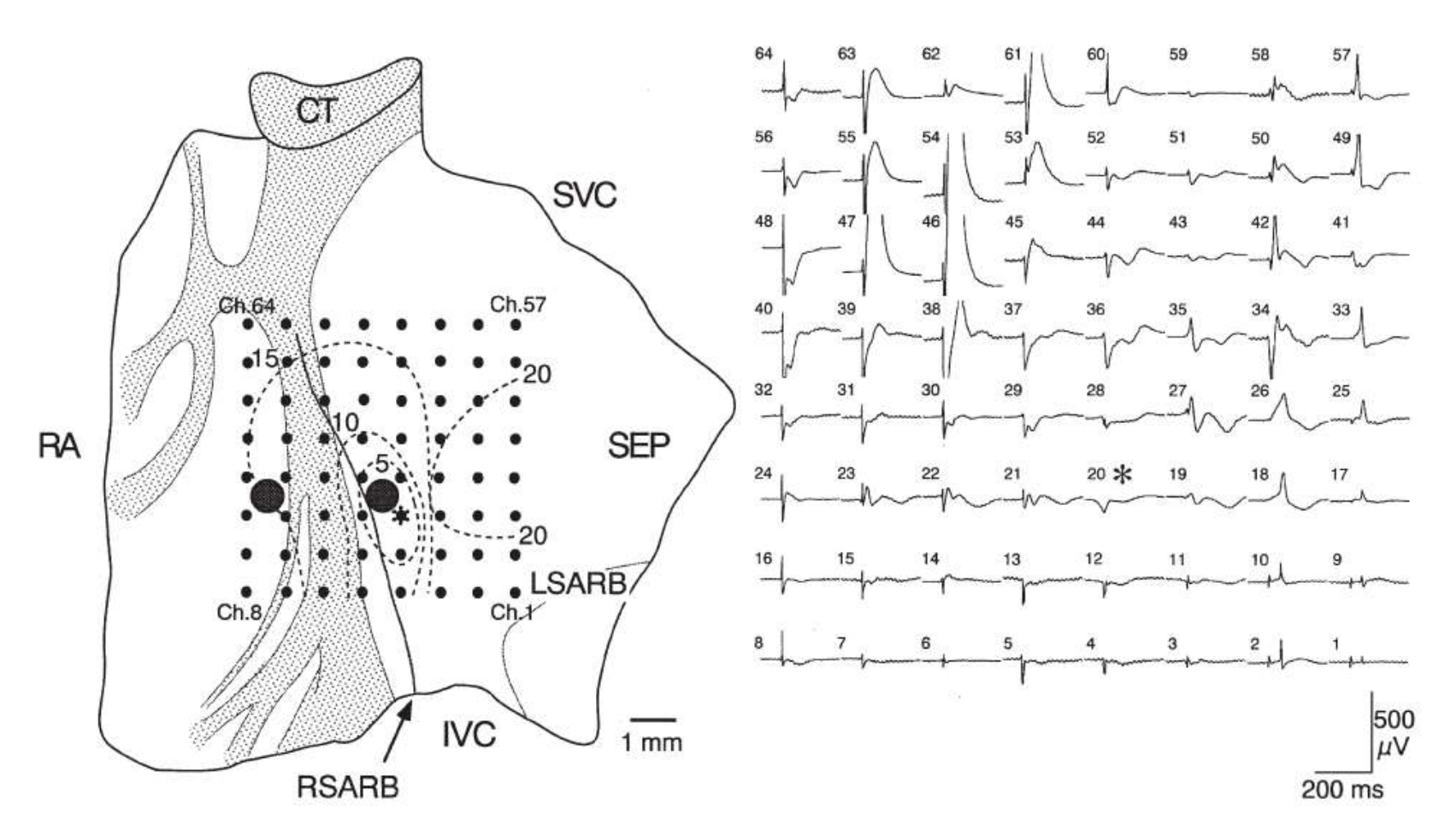
Модель Grill, Zykov et al., 1995

$$\frac{\partial u}{\partial t} = \nabla^2 u + \frac{1}{\varepsilon} \left[ u - u^2 - (fv + \phi) \frac{u - q}{v - q} \right],$$

$$\frac{\partial v}{\partial t} = u - v.$$

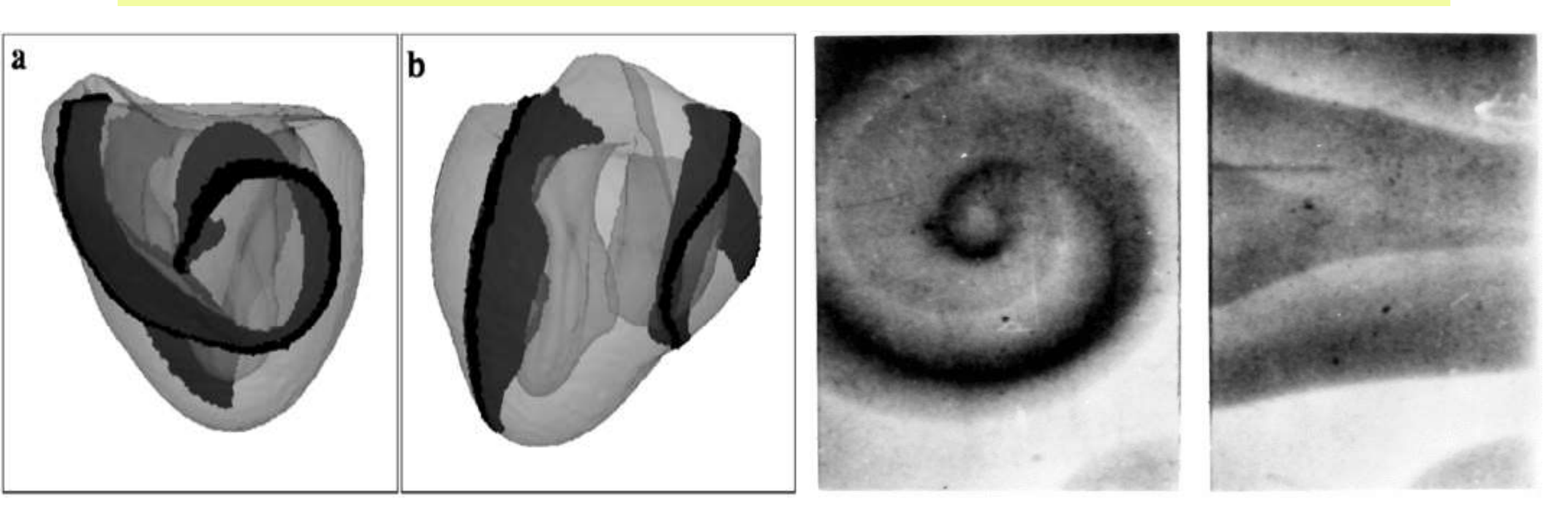
Выведение кончика волны за границу активной зоны – управление автоволновой активностью

### Генерация и распространение возбуждения в СУ и предсердии



Shibata et al., Experimental Physiology (2001) 86.2, 177-184.

#### 3D (объемные) вихри в сердце и в реакции Белоусова-Жаботинского (BZ)



From: Aliev RR, Panfilov AV. Chaos, Solitons & Fractals 7(3) 293-301 (1996).

From: Алиев PP. (1994).

### Кардиомиоциты - клетки неправильной цилиндрической формы длиной 100 - 150 мкм и диаметром 10-20 мкм

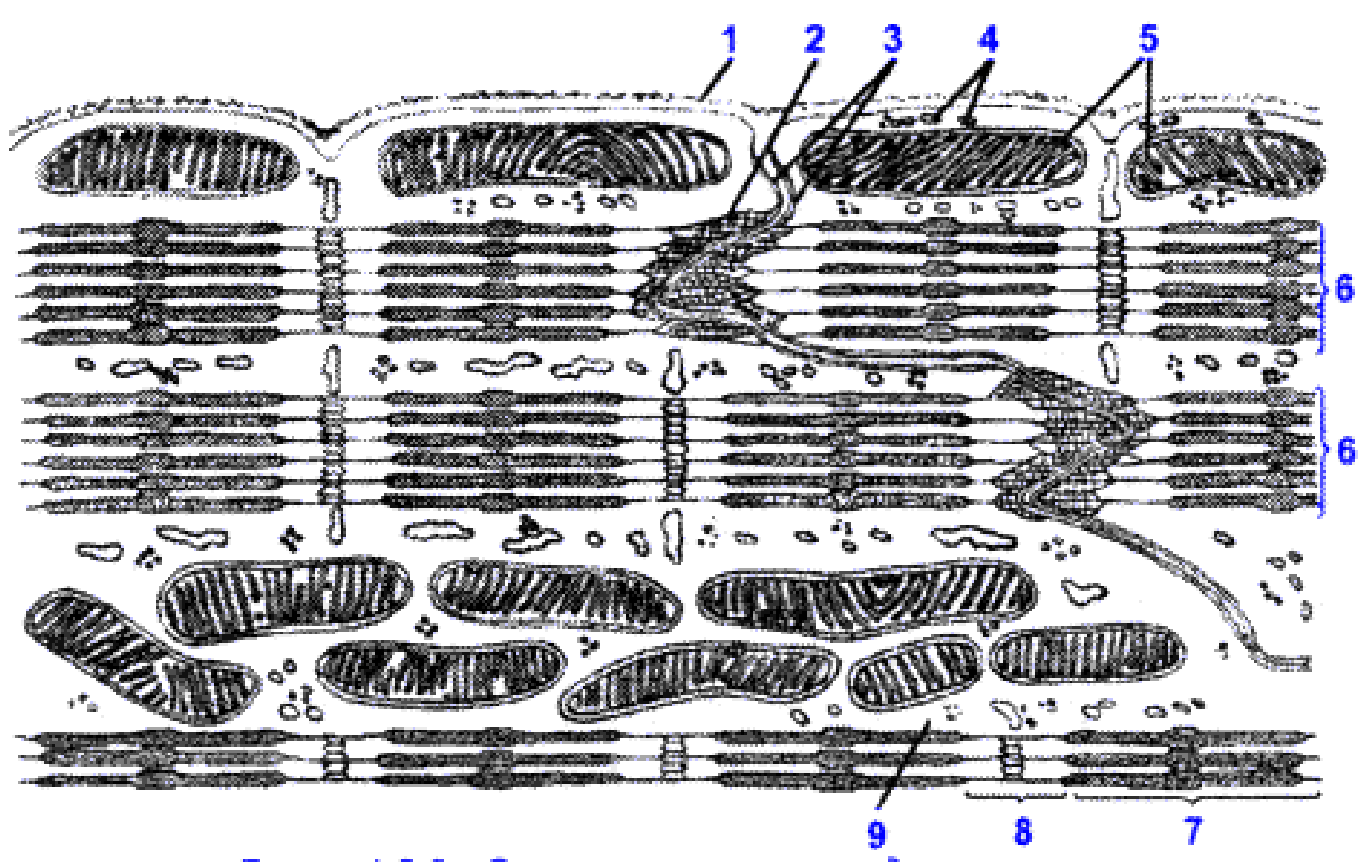
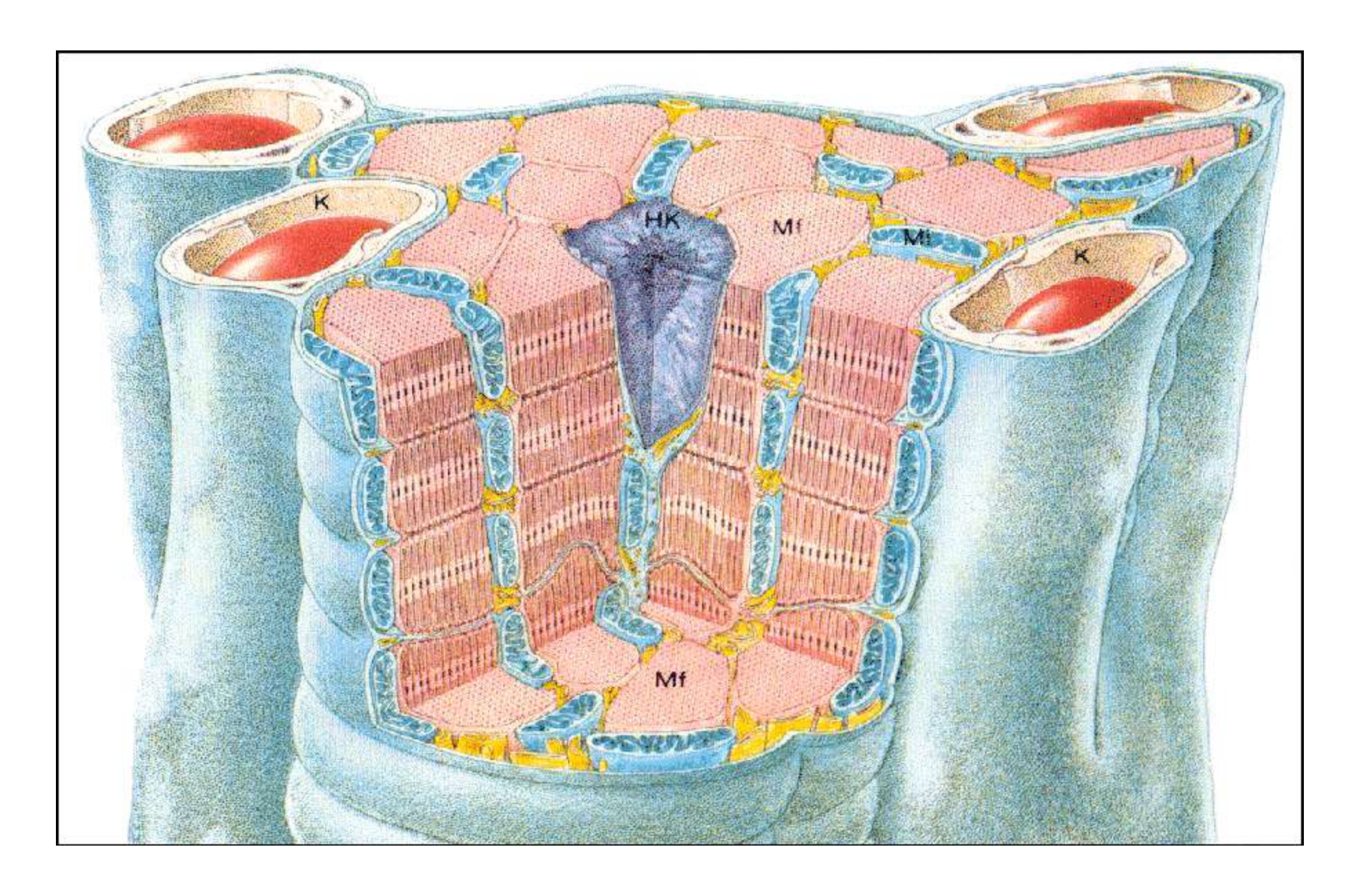


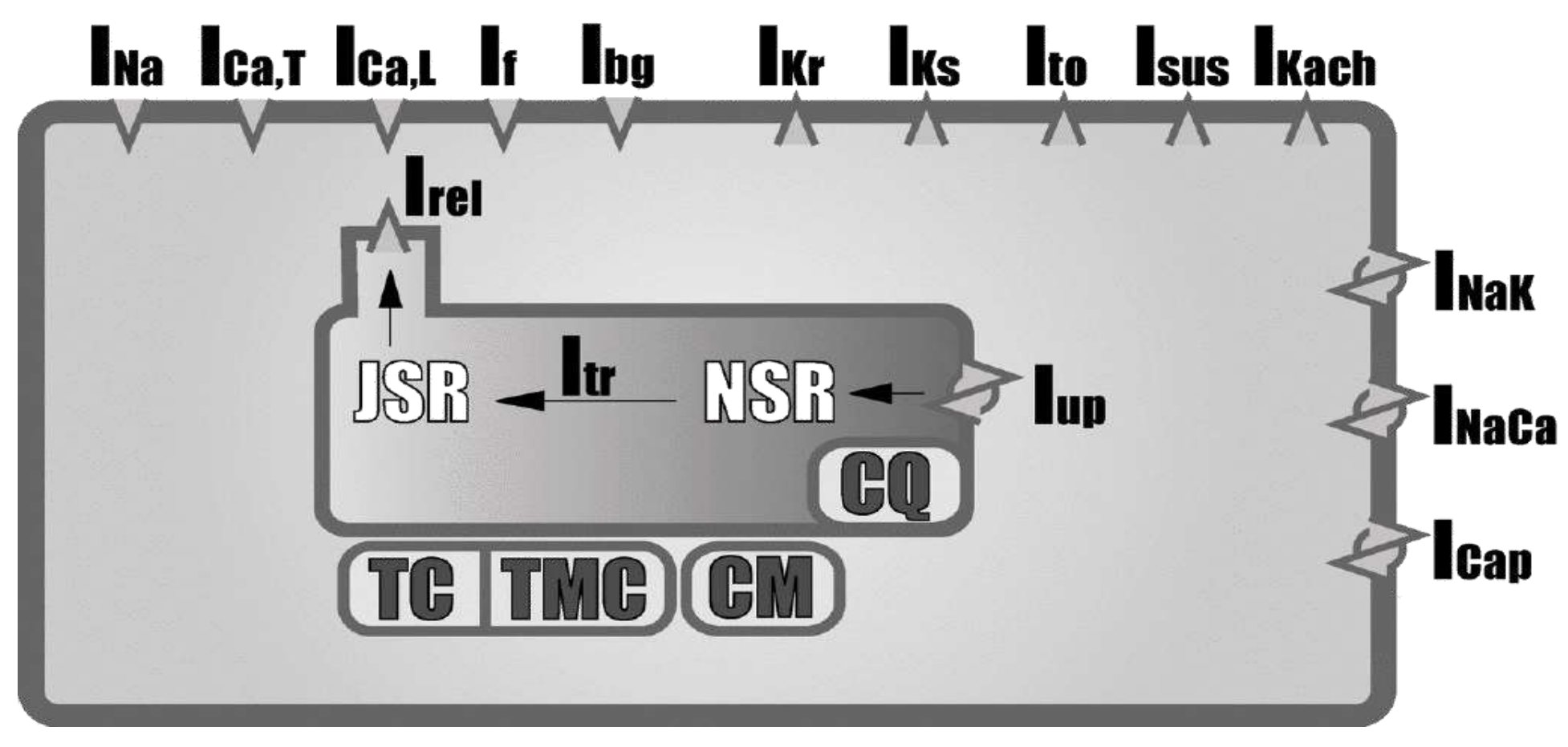
Рис. 126. Схема строения кардиомиоцита:

1 – базальная оболочка мышечного волокна; 2 – вставочный диск;
 3 – окончание миофибрилл на цитолемме; 4 – эндоплазматическая сеть;
 5 – митохондрии; 6 – миофибриллы; 7 – диск А (анизотропный диск);
 8 – диск I (изотропный диск); 9 – саркоплазма (по Ф. Шестранду)



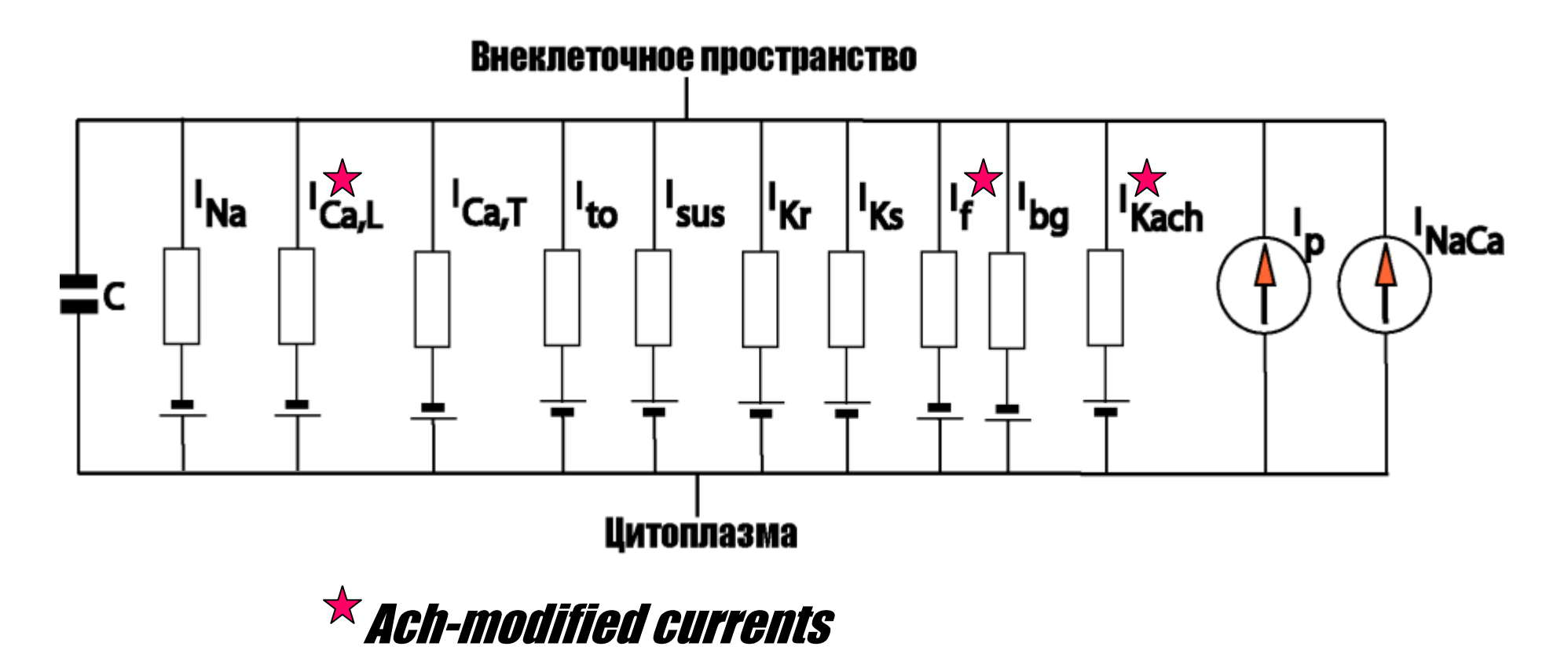
Кардиомиоцит окружен 8-12 капилярами

### Схема мембранных и внутриклеточных токов в кардиомиоците



Алиев Р.Р., Чайлахян Л.М. ДАН 402 (2005).

### Эквивалентная электрическая схема мембраны клетки Синусного Узла желудочка



Model described in: Zhang et al. Am. J. Physiol., 279, H397-421 (2000), Zhang et al. J. Cardiovasc. Electrophysiol., 13, 465-474 (2002).

# Вычисление трансмембранного потенциала в клетке Синусного Узла млекопитающих

$$-C_{m}\frac{dV}{dt} = i_{Na} + i_{Ca,L} + i_{Ca,T} + i_{f} + i_{K,r} + i_{K,s} + i_{to} + i_{sus}$$

$$+i_{K,ACh} + i_{b,Na} + i_{b,Ca} + i_{b,K} + i_{NaK} + i_{NaCa} + i_{p,Ca}$$

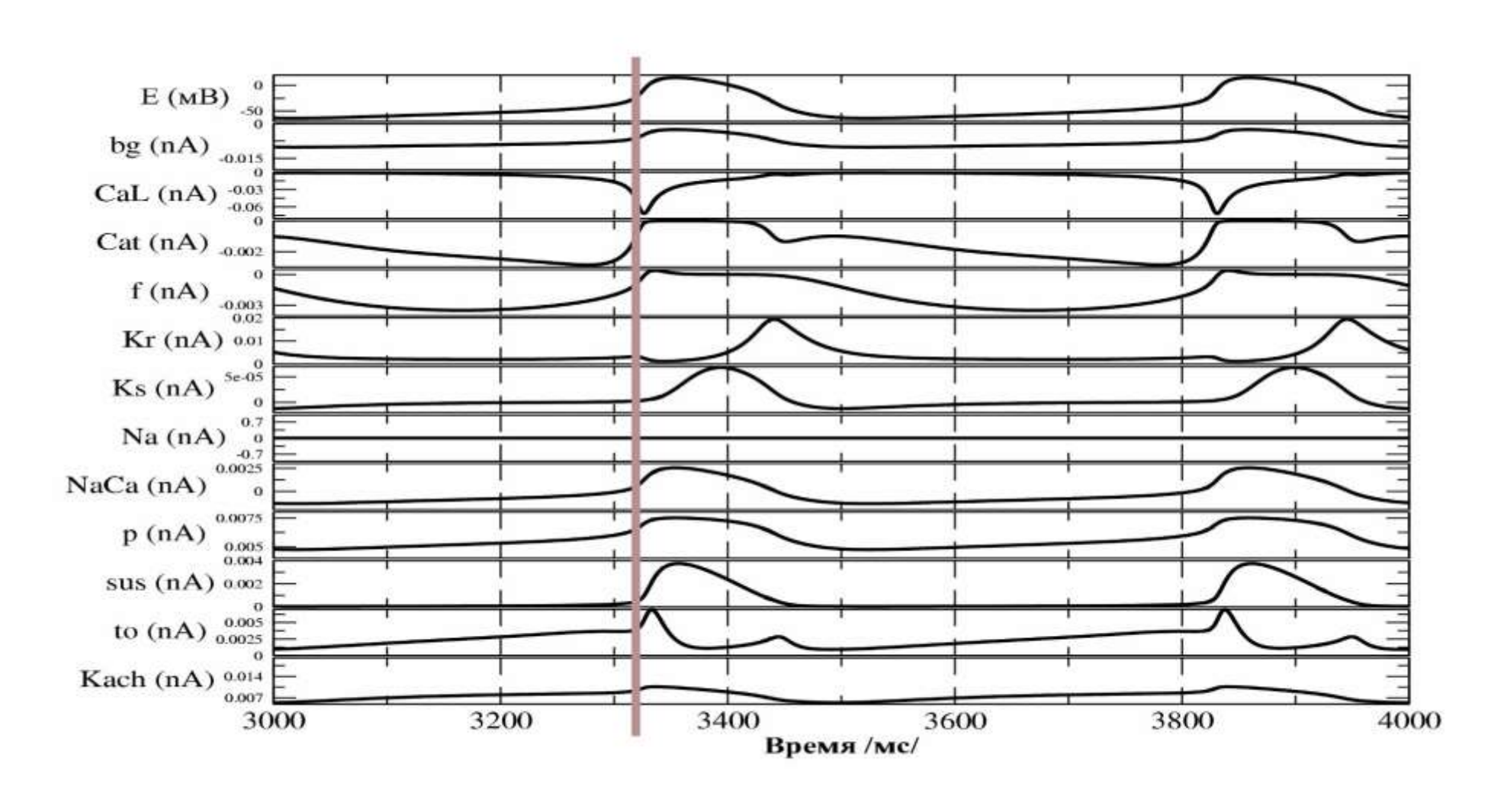
 $i_{Na}$  — натриевый ток,  $i_{Ca,T}$ ,  $i_{Ca,L}$  — кальциевые токи T и L типа,  $i_f$  — активируемый при гиперполяризации ток,  $i_{b,Na}$ ,  $i_{b,Ca}$ ,  $i_{b,K}$  — фоновые токи,  $i_{K,r}$ ,  $i_{K,s}$  — быстрый и медленный калиевые токи задержанного выпрямления,  $i_{to}$ ,  $i_{sus}$  — компоненты чувствительного к 4-AP тока,

 $i_{NaK}$  – Na-K насос,

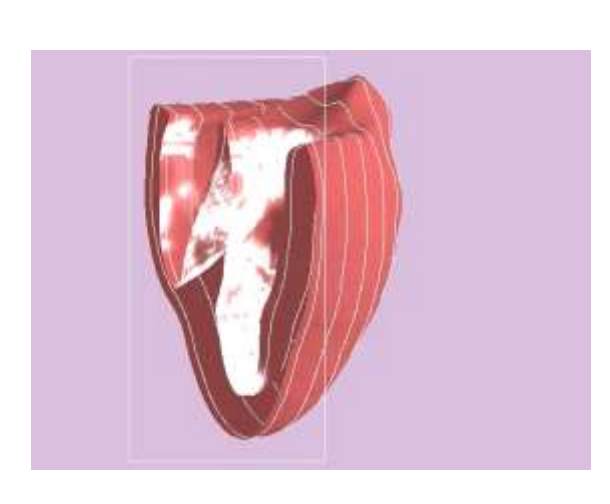
 $i_{NaCa}$  – Na-Ca обменник,

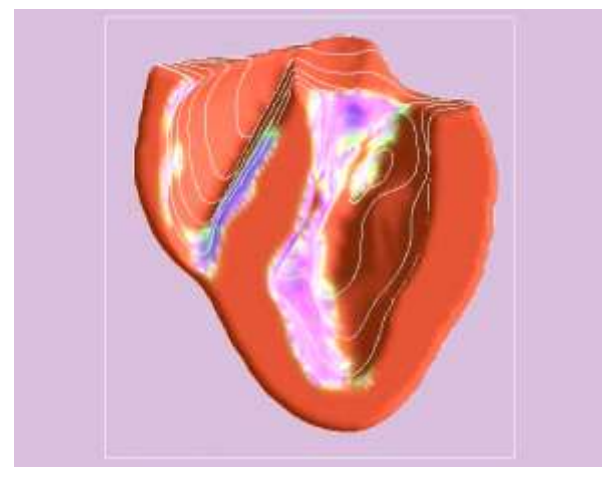
 $i_{p,Ca}$  – кальциевый насос.

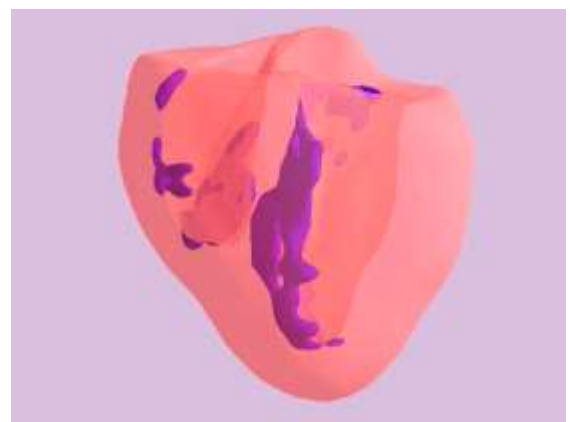
### Потенциал и токи в клетке истинного водителя ритма



# Моделирование: трансмуральное (крупноочаговое) распространение возбуждения







Интра-муральный инфаркт – захватывающий один отдел сердца,

Трансмуральный – несколько отделов